

# مجله علوم و صنایع غذایی ایران

سایت مجله: [www.fsct.modares.ac.ir](http://www.fsct.modares.ac.ir)



مقاله علمی\_پژوهشی

## غنى‌سازی ماست با روغن درون‌پوشانی شده و موسيلاز دانه چيا: بهينه‌سازی و ارزیابی ویژگی‌های

### فيزيکي و شيميايي و رئولوژيكي

سیده زهرا سيد محمدی‌فرد<sup>۱</sup>، سهيلا زرين قلمي<sup>۲</sup>، محسن زندی<sup>۲\*</sup>، مریم پاکپور<sup>۳</sup>

۱-دانش آموخته کارشناسی ارشد، فناوری مواد غذایی، دانشگاه زنجان.

۲-دانشیار، گروه علوم و مهندسی صنایع غذایی، دانشکده کشاورزی، دانشگاه زنجان، زنجان، ایران.

۳-استادیار گروه مواد، انرژی‌ها و فناوری‌های کوآنتومی، دانشکده فناوری‌های همگرا، موسسه رهیافت‌های نوآور برتر پاسارگاد، تهران.

### چكیده

### اطلاعات مقاله

#### تاریخ های مقاله :

تاریخ دریافت: ۱۴۰۱/۱۲/۰۲

تاریخ پذیرش: ۱۴۰۲/۰۱/۲۱

#### كلمات کلیدی:

روغن دانه چیا،

موسيلاز دانه چیا،

ريزپوشاني،

غنى سازی،

ماست،

بهينه‌سازی.

پژوهش حاضر با هدف بهینه‌سازی فرمولاسیون ماست غنى‌شده با روغن و موسيلاز دانه چیا بهمنظور به حداقل رساندن میزان اسید چرب آلفالینولینیک (امگا ۳) و حداقل تغییرات در ویژگی‌های فيزيکي و شيميايي (pH، اسیديته قابل تیتر، آب‌اندازی، ماده خشک، پراکسید و رنگ) نسبت به نمونه شاهد بود. ابتدا به منظور افزایش پایداری اکسایشی، روغن دانه چیا با استفاده از آژینات سدیم و موسيلاز دانه چیا و به کمک روش امولسیون‌سازی-ژلاسیون داخلی ریزپوشانی گردید. سپس نمونه‌های ماست حاوی ۰-۰/۲۵ درصد موسيلاز دانه چیا و ۰-۴ درصد روغن دانه چیا به دو صورت آزاد و ریزپوشانی شده تولید گردید. نمونه فاقد روغن و موسيلاز دانه چیا به عنوان نمونه شاهد می‌باشد. نتایج تصاویر میکروسکوپ الکترونی روبشی نشان‌دهنده تشکیل موفقیت‌آمیز ریزپوشش آژینات سدیم- موسيلاز دانه چیا با ساختار پوسته یکنواخت بود. نتایج بدست آمده از ویژگی‌های فيزيکي و شيميايي نشان داد که غنى سازی سبب کاهش معنی‌دار آب‌اندازی ( $p < 0.05$ ) و افزایش معنی‌دار ( $p < 0.05$ ) ظرفیت نگهداری و ویسکوزیته ماست گردید. به علاوه ماست حاوی ۳/۴۱ درصد روغن دانه چیا به صورت ریزپوشانی شده و ۰/۲۱۳ درصد موسيلاز دانه چیا، به عنوان نمونه بهينه تعیین شد. نتایج نشان داد که نمونه بهينه از نظر تعداد باكتري‌های آغازگر نيز تفاوت معنی‌داری با نمونه شاهد ندارد ( $p > 0.05$ ). بافت ماست‌ها، جامد و ویسکوالاستيک تشخيص داده شد و در تمام نمونه‌ها همواره در کل محدوده فركانسي، مدول ذخيره (G') از مدول افت (G'') بيشتر بود. شاخص رفتار جريان در كليه نمونه‌ها كمتر از يك بود که نشان دهنده رفتار غيرنيوتني (هرشل بالكل) نمونه‌ها می‌باشد. مدل هرشل بالکي در هردو نمونه بيشترین ضريب تبيين ( $R^2 = 0.99$ ) و كمترین ريشه ميانگين مربعات خطرا دارا بود که نشان دهنده مناسب بودن اين مدل برای مدل‌سازی رفتار رئولوژيكي نمونه‌ها است.

**DOI:** 10.22034/FSCT.20.134.171

**DOR:** 20.1001.1.20088787.1402.20.134.13.7

\* مسئول مکاتبات:

Zandi@znu.ac.ir

يا آب از طریق پراکنده کردن یک مایع در مایع غیرقابل اختلاط دیگر تولید می‌گردد [۱۵-۱۳]. یکی از چالش‌های پیش‌رو در زمینه درونپوشانی، انتخاب مواد دیواره مناسب با حداقل پایداری در مقابل عوامل خارجی در طول زمان می‌باشد. پلی‌ساقاریدها عمدتاً پیشترین کاربرد را به عنوان مواد دیواره دارند. آلتینات سدیم<sup>۱۷</sup> یک پلی‌ساقارید خطی مشتق‌شده از اسید آلژنیک است که به دلیل توانایی غلیظ کنندگی<sup>۱۸</sup>، خاصیت تشکیل فیلم<sup>۱۹</sup>، پایداری، سازگاری زیستی، ارزان و در دسترس بودن در توسعه فناوری ریزپوشانی کاربرد دارد. آلتینات سدیم به راحتی در آب حل می‌شود اما هنگام قرار گرفتن در مجاورت یون‌های کلسیم تشکیل ژل می‌دهد که این قابلیت به دلیل تعامل با کاتیون‌های دو ظرفیتی به عنوان عامل اتصال عرضی است که سبب پیوند گروه‌های عملکردی و تشکیل شبکه‌ای ژلی می‌گردد که روشی برای تولید ریزپوشش‌ها است [۱۷، ۱۱، ۱۶].

دانه‌های چیا حاوی تقریباً ۳۰-۳۴ درصد فیبر رژیمی است. فیبر یک ترکیب پیچیده شامل الیگوساقاریدها و پلی‌ساقاریدهایی مانند سلولز و همی‌سلولز است که به دلیل حضور کربوهیدرات‌های دارای گروه‌های قطبی آزاد، ویژگی جذب آب بالایی دارند و توانایی تشکیل ژل را دارند. در صنعت غذا نیز بهبود دهنده بافت کاربرد دارند. لیکنین بخش نامحلول اصلی فیبر است که نقش مهمی در محافظت از اسیدهای چرب غیراشباع ایفا می‌کند. قسمت محلول فیبر تا حدی از بذر خارج می‌شود و در تماس با آب، ژل تشکیل می‌دهد. بخشی از فیبر در چیا که در قسمت بیرونی قرار دارد پس از جذب آب، تا حدودی از سطح دانه خارج می‌شوند و به شکل موسيلاز که کاملاً به خود دانه می‌چسبید، نمایان می‌شوند [۲۰، ۱۸]. یکی از راه‌های بهبود ارزش تغذیه‌ای مواد غذایی، غنى‌سازی با ترکیبات زیستفعال است [۱۹]. از بین مواد غذایی مختلف، لینیات با توجه به مصرف بالا در جهان، بیشتر به عنوان پایه‌ی غذایی جهت غنى‌سازی در نظر گرفته می‌شوند [۲۰]. با توجه به گسترش تولید و مصرف روزافزون انواع ماست و از سویی دیگر نداشتن ترکیبات زیست فعال به اندازه کافی [۲۱]، غنى‌سازی این محصول با ترکیبات مفید از جمله اسیدهای چرب ضروری می‌تواند بسیار مفید واقع شود.

- 17. Sodium alginate
- 18. Thickening
- 19. Film-formingproperty
- 20. Foam stabiliser
- 21. Suspending agent

## ۱- مقدمه

چیا از کلمه اسپانیایی چین<sup>۱</sup> یا چین<sup>۲</sup> اقتباس شده است که منشا آن از ناهواتی<sup>۳</sup> به معنای روغنی است [۱]. دانه‌های چیا از گیاه سالویا هیسپانیکا<sup>۴</sup> از خانواده لامیاسه<sup>۵</sup> و جنس مریم‌گلی به دست می‌آیند [۲]. این دانه‌ها حاوی ۱۸-۲۴ درصد پروتئین، ۵-۵۰ درصد روغن، حدود ۴۲ درصد کربوهیدرات و حدود ۵ درصد خاکستر هستند. دانه‌های چیا منبع غنى از ترکیبات با فعالیت بیولوژیکی بالا بهویژه پلی‌فنول‌هایی نظیر اسید گالیک<sup>۶</sup>، اسید کافشیک<sup>۷</sup>، اسید کلروژنیک<sup>۸</sup>، اسید سینامیک<sup>۹</sup>، فرولیک<sup>۱۰</sup>، کوئرستین<sup>۱۱</sup>، کامپرفول<sup>۱۲</sup>، اپیاکاتچین<sup>۱۳</sup>، روتین<sup>۱۴</sup>، آپیژنین<sup>۱۵</sup> و اسید پیکاریک<sup>۱۶</sup> نیز هستند. این دانه‌ها حاوی استرول‌های گیاهی نظیر کامپسترون، استیگماسترون، سیستواترون، توکوفرون‌ها، مواد معدنی و ویتامین‌ها نیز می‌باشند [۵-۲]. روغن دانه چیا حاوی مقداری زیادی اسیدهای چرب غیراشباع به ویژه آفالینولینیک از گروه اسیدهای قلبی عروقی به خصوص در افراد در معرض خطر دارد. [۶-۱۰]. اما یکی از مشکلات اسیدهای چرب چند غیراشباعی عدم پایداری اکسیداتیو آن‌ها می‌باشد که می‌توان از روش‌های مانند درونپوشانی برای حفاظت آن‌ها استفاده کرد.

درونپوشانی به عنوان ابزاری مفید برای بهبود نگهداری و تحويل ترکیبات زیستفعال محسوب می‌گردد و این امکان را فراهم می‌آورد تا ضمن حفظ و نگهداری این ترکیبات، امکان آزادسازی آن‌ها در زمان، مکان یا محصول خاص فراهم گردد [۱۱، ۱۲]. در سال‌های اخیر روش‌های مختلفی برای درونپوشانی ترکیبات زیستفعال توسعه یافته است. روش امولسیون‌کردن به سبب سهولت، سرعت، اینمنی برای استفاده‌های غذایی و در دسترس بودن کاربرد فراوانی دارد. در این روش معمولاً قطره‌های روغن

- 1. Chian
- 2. Chien
- 3. Nahuati
- 4. *Salvia hispanica*
- 5. Lamiaceae
- 6. Gallic acid
- 7. Caffeic acid
- 8. Chlorogenic acid
- 9. Cinnamic acid
- 10. Ferulic acids
- 11. Quercetin
- 12. Kaempferol
- 13. Epicatechin
- 14. Rutin
- 15. Apigenin
- 16. P-coumaric acid

ظروف نفوذناپذیر به رطوبت و هوا ریخته شد و در دمای ۴ درجه سلسیوس نگهداری گردید [۲۳].

### ۲-۳-ریزپوشانی روغن دانه چیا و ارزیابی ریزپوشش‌ها

ابتدا ۲ گرم مخلوط مساوی پودر موسیلاز چیا و آژینات سدیم در ۱۰۰ میلی لیتر آب مقطر (نسبت ۱ به ۵۰ (وزنی/حجمی)) حل شد و پس از ۲ ساعت همزدن در دمای محیط، مخلوط یک شب در دمای یخچال (۴ درجه سلسیوس) نگهداری گردید. فرایند ریزپوشانی به روش امولسیون‌سازی-ژلاسیون داخلی [۱۳] از طریق اختلاط کامل ۳۰ گرم از این مخلوط با ۱۰ گرم روغن دانه چیا (۶ دقیقه با سرعت ۳۰۰۰ دور در دقیقه) انجام شد. بهمنظور تشکیل ریزپوشش‌ها امولسیون حاصل، قطره قطره به محلول کلرید کلسیم (۱ درصد (وزنی/حجمی)) اضافه گردید و ریزپوشش‌ها حاصل توسط محلول کلرور کلسیم ۰/۰۵ مولار شستشو و با کمک سیستم خلاء شیشه‌ای میلی پور توسط فیلتر نیتروسلولزی جداسازی گردید و به نسبت ۱ به ۹ در آب مقطر ریخته شد و تا زمان استفاده در دمای ۴ درجه سلسیوس نگهداری گردید. و تا زمان استفاده در دمای ۴ درجه سلسیوس نگهداری گردید. برای اندازه‌گیری پایداری امولسیون (ES)، ۱۰۰ میلی لیتر از امولسیون ( $V_0$ ) به یک استوانه مدرج منتقل شد و به مدت یک ساعت در دمای اتاق نگهداری شد [۱۳، ۱۵]:

$$ES (\%) = \frac{(V/V_0) - 1}{100} \quad (1)$$

که  $V$  برابر فاز روغنی جدا شده پس از یک ساعت است. محاسبه راندمان ریزپوشانی<sup>۲۲</sup> (EE) با استفاده از جرم اولیه روغن مورد استفاده ( $M_0$ ) و جرم روغن ریزپوشانی نشده ( $M$ ) باقی‌مانده بر روی سطح و همچنین روی سطح ریزپوشش‌ها انجام شد [۱۳، ۲۲]:

$$ES (\%) = \frac{(M_0 - M) / M_0}{100} \quad (2)$$

به منظور اطمینان از تشکیل ریزپوشش‌ها و بررسی موروفولژی آن‌ها از میکروسکوپ الکترونی رویشی<sup>۲۳</sup> استفاده گردید. به این ترتیب که پس از خشک‌کردن ریزپوشش‌ها به وسیله خشک‌کن انجمادی، پودر حاصله روی سطح مربوط به میکروسکوپ الکترونی رویشی ثبت گردید و پس از پوشش‌دار کردن با طلا (۶-۱۱ نانومتر، ۱۰ میلی‌آمپر و ۴۰ ثانیه) به داخل دستگاه

از آنجا که تا کنون پژوهشی در زمینه استفاده از روغن دانه چیا به صورت آزاد و ریزپوشانی شده در ماست و بررسی اثر آن بر ویژگی‌های کیفی، تغذیه‌ای و رئولوژیکی آن انجام نشده است، تحقیق حاضر با هدف ریزپوشانی روغن دانه چیا با استفاده از آژینات سدیم و موسیلاز دانه چیا به کمک روش امولسیون‌سازی-ژلاسیون داخلی بهمنظور حفاظت اکسیداتیو آن و سپس بهینه‌سازی ماست غنی‌شده با روغن دانه چیا ریزپوشانی شده، روغن آزاد و موسیلاز دانه چیا بر اساس ویژگی‌های فیزیکی و شیمیایی (pH، اسیدیته، پراکسید، ماده خشک، آب‌اندازی، رنگ و امگا ۳) در نهایت مقایسه نمونه بهینه با شاهد از نظر شمارش باکتری‌های آغازگر و ویژگی‌های رئولوژیکی انجام پذیرفت.

## ۲-مواد و روش‌ها

### ۲-۱-مواد

شیر پاستوریزه و ماست پرچرب (میهن، ایران) و دانه چیا از بازار محلی زنجان تهیه شد. تمام مواد شیمیایی با درجه خلوص آزمایشگاهی و محیط‌های کشت از شرکت مرک (آلمان) تهیه گردید. آژینات سدیم از شرکت سیگما آلدریج (آمریکا) تهیه شد.

### ۲-۲-استخراج روغن و موسیلاز دانه چیا

برای استخراج موسیلاز، ۱۰۰ گرم دانه چیا با ۲۰۰ میلی لیتر آب مقطر (۱ به ۲۰ (وزنی/حجمی)) مخلوط شدند و با استفاده از همزن معنطیسی (۱۰۰ دور در دقیقه) برای ۴۵ دقیقه در دمای  $50\pm 2$  درجه سلسیوس به مدت ۴۵ دقیقه هم‌زده شد. مخلوط نهایی پس از سرد شدن و یک شب نگهداری در دمای یخچال (۴ درجه سلسیوس) بهمنظور آب‌گیری کامل دانه‌ها، درون سینی‌های فلزی ریخته شد و به مدت ۲۴ ساعت در دمای ۵ درجه سلسیوس درون آون قرار داده شد تا خشک گردد. پس از نگهداری دانه‌ها به مدت ۲۴ ساعت در دمای محیط برای ایجاد تعادل رطوبت، لایه‌ی موسیلاز خشک‌شده توسط صافی با مش ۲۵ جداسازی شد. پودر حاصله تا زمان استفاده در ظروف شیشه‌ای نفوذناپذیر به رطوبت و هوا دربندی و در دمای اتاق نگهداری شد [۱۸، ۲۲]. استخراج روغن دانه چیا با استفاده از پرس هیدرولیک سرد (شرکت Nord، مدل KK15، آلمان) بهتریب در فشار و دمای ۲۰ مگاپاسکال و ۲۵ درجه سلسیوس انجام پذیرفت. روغن حاصل برای جلوگیری از اکسید شدن در

22. Emulsion stability (%ES)

23. encapsulation efficiency(EE%)

24. Scanning electron microscope (SEM)

درصد) به آن بسته به تیمار (جدول ۱) با سرعت پایین همزده شد. نمونه شاهد نمونه فاقد روغن دانه چیا و موسیلاژ در نظر گرفته شد. در ادامه شیر مایه‌خورده تا رسیدن به pH=۴/۵ (حدود ۳ ساعت) در آون با دمای ۴۵ درجه سلسیوس قرار داده شد و در نهایت ۲۴ ساعت در دمای ۴ درجه سلسیوس نگهداری شد.

میکروسکوپ الکترونی که ولتاژ شتاب دهنده الکترون‌ها در آن ۱۵ کیلوولت بود منتقل و تصویر مورد نظر گرفته شد [۱۷، ۱۸].

#### ۲-۴-تهیه ماست

۳ درصد مایه ماست به شیر پاستوریزه با دمای ۴۵ درجه سلسیوس افزوده شد و پس از افزودن روغن دانه چیا (۴-۰-۰/۲۵ درصد) به صورت آزاد یا ریزپوشانی شده و موسیلاژ (۰-۰-۰/۲۵)

**Table 1** Design matrix of the response surface methodology.

Run	Encapsulation	Chia seed musilage (%)	Chia seed oil (%)	Run	Encapsulation	Chia seed musilage (%)	Chia seed oil (%)
1	With	0.125	2	13	Without	0.037	0.59
2	Without	0.125	2	14	With	0.125	4
3	With	0.21	0.59	15	Without	0.125	2
4	With	0.21	3.41	16	Without	0.125	2
5	With	0.037	3.41	17	Without	0.125	2
6	With	0.037	0.59	18	With	0.125	2
7	With	0.125	2	19	Without	0.125	4
8	Without	0.21	3.41	20	Without	0.125	0
9	Without	0.25	2	21	With	0	2
10	With	0.125	2	22	Without	0	2
11	With	0.25	2	23	With	0.125	0
12	Without	0.037	3.41	24	Without	0.21	0.59
12	Without	0.037	3.41	24	Without	0.21	0.59

داده شد و درصد آب‌اندازی ماست با توجه به وزن آب خارج

شده از آن طبق رابطه ۴ محاسبه گردید [۲۴]:

$$(4) \quad \text{میزان آب‌اندازی} (\text{درصد}) = \frac{M / M_0 - 1}{M_0} \times 100$$

که در آن  $M_0$ : جرم اولیه نمونه ماست و  $M$ : وزن آب خارج شده از ماست است.

برای اندازه‌گیری میزان عدد پراکسید نمونه‌های ماست، ابتدا ۵ گرم ماست و ۳۰ میلی‌لیتر محلول استیک اسید گلاسیال-کلروفرم (۳ به ۲ (حجمی/حجمی)) کاملاً مخلوط و ۰/۵ میلی‌لیتر از یدید پاتاسیم اشباع به آن افزوده شد. پس از ۱۰ دقیقه نگهداری مخلوط در محیط تاریک، ۳۰ میلی‌لیتر آب مقطر و ۱ میلی‌لیتر از چسب نشاسته (۱ درصد) به آن اضافه گردید و با سدیم تیوسولفات ۰/۱ مولار تیتر شد و عدد پراکسید از رابطه ۵ به دست آمد [۲۴]:

$$(5) \quad \text{عدد پراکسید (meq/kg)} = [N(\text{S-B}) / M_0] \times 100$$

که در آن  $M_0$ : جرم اولیه نمونه ماست،  $N$ : نرمالیته سدیم تیوسولفات،  $S$ : حجم سدیم تیوسولفات مصرفی برای نمونه و

#### ۶-۲-بهینه‌سازی

برای تعیین شرایط بهینه از روش بهینه‌سازی عددی با هدف به حداقل رساندن میزان امگاء ۳ و حداقل سازی همزمان تغییرات pH، اسیدیته، ماده خشک، ویژگی‌های رنگی، میزان آب‌اندازی و پراکسید نسبت به نمونه شاهد استفاده گردید. اسیدیته و pH ماست با روش تمجیدی و همکاران انجام شد [۲۴].

جهت اندازه‌گیری ماده خشک، حدود ۳-۵ گرم ماست توزین گردید و در آون با دمای ۱۰.۵±۲ درجه سلسیوس تا رسیدن به وزن ثابت قرار داده شد و میزان ماده خشک از رابطه ۳ محاسبه گردید [۸]:

$$(3) \quad \text{میزان ماده خشک} (\text{درصد}) = \frac{M / M_0 - 1}{M_0} \times 100$$

که در آن  $M_0$ : جرم اولیه نمونه ماست و  $M$ : جرم نمونه خشک شده است.

برای اندازه‌گیری میزان آب‌اندازی ماست، ۳۰ گرم ماست به مدت ۱ ساعت در دمای ۱۰ درجه سلسیوس روی کاغذ صافی قرار

مدل‌های قانون توان<sup>۲۷</sup> (رابطه ۷)، بینگهام<sup>۲۸</sup> (رابطه ۸)، هرشل-بالکلی<sup>۲۹</sup> (رابطه ۹)، کاسون<sup>۳۰</sup> (رابطه ۱۰) و ووکادلو<sup>۳۱</sup> (رابطه ۱۱) استفاده گردید:

$$\tau = K \dot{\gamma}^n \quad (7)$$

$$\tau = \mu_p \dot{\gamma} + \tau_0 \quad (8)$$

$$\tau = K \dot{\gamma}^n + \tau_0 \quad (9)$$

$$\sqrt{\tau} = \sqrt{\tau_0} + K_c \sqrt{\dot{\gamma}} \quad (10)$$

$$\tau = [\tau_0^{1/n} + K_V \dot{\gamma}]^n \quad (11)$$

که  $\tau$  برابر تنش برشی (Pa)،  $\dot{\gamma}$  برابر سرعت برشی ( $s^{-1}$ )،  $K$  برابر شاخص رفتار جریان،  $K_V$  برابر ضریب قوام ( $Pa.s^n$ )،  $\mu_p$  برابر ویسکوزیته پلاستیک بینگهام (Pa.s)،  $\tau_0$  برابر تنش تسیلم برای مدل ووکادلو (Pa) و  $K_c$  به ترتیب برابر ثابت مدل کاسون و شاخص قوام برای مدل ووکادلو می‌باشد.

## ۸-۲-تحلیل آماری

بهینه‌سازی با روش سطح پاسخ (RSM)<sup>۳۲</sup> و با طرح مرکب مرکزی (CCD)<sup>۳۳</sup> با کمک دو عامل عددی شامل غلظت روغن دانه چیا (۰ تا ۴ درصد) و غلظت موسیلائز (۰ تا ۰/۲۵ درصد) و یک عامل کیفی ریزپوشانی انجام شد. سطوح بالا و پایین بر اساس مطالعات اولیه (برای غلظت موسیلائز) و با در نظر گرفتن مقدار مورد نیاز تامین شده توسط رژیم غذایی امگا<sup>۳</sup>، میزان امگا ۳ روغن دانه چیا و میزان از دست رفتن روغن دانه چیا انتخاب شدند. برای مقایسه نمونه بهینه و شاهد از طرح فاکتوریل با طرح آزمایشی پایه بلوك کامل تصادفی با حداقل سه تکرار استفاده گردید و زمان به عنوان یک بلوك در نظر گرفته شد. ارزیابی و مقایسه مدل‌های رئولوژیکی با کمک ضریب تبیین ( $R^2$ ) و ریشه

B: حجم سدیم تیوسولفات مصرفی برای شاهد است. به منظور تعیین شاخص‌های رنگی، از تصویربرداری سطحی در محفظه پردازش تصویر و با کمک دوربین Canon EOS 70D استفاده گردید و پس از استخراج شاخص‌های رنگی ( $a^*$ ،  $b^*$ ،  $L^*$ )، با استفاده از نرمافزار J<sub>g1/40</sub><sup>\*</sup> (Image J)، ایالت متحده آمریکا)، میزان تفاوت رنگ نمونه‌ها نسبت به نمونه شاهد ( $\Delta E$ ) از رابطه ۶ به دست آمد [۲۵]:

$$\Delta E = \sqrt{(L^* - L_0^*)^2 + (a^* - a_0^*)^2 + (b^* - b_0^*)^2} \quad (6)$$

## ۷-۲-مقایسه نمونه بهینه با شاهد

مقایسه نمونه‌های بهینه و شاهد از طریق بررسی زندمانی باکتری‌های آغازگر و ارزیابی رئولوژیکی نمونه‌های ماست انجام شد. به منظور شمارش باکتری‌های آغازگر، ۰/۱ میلی لیتر از غلظت ۱۰<sup>۷</sup> نمونه‌های ماست به پلیت‌های حاوی محیط‌های کشت MRS (لاکتوبراسیلوس‌ها) و M17 آگار (استرپتوكوکوس‌ها) متقل گردید. پلیت‌ها در دمای ۳۷ درجه سلسیوس به ترتیب در شرایط بی‌هوایی به مدت ۷۲ ساعت و شرایط هوایی به مدت ۴۸ ساعت گرمانه‌گذاری و سپس شمارش شد [۲۶].

ارزیابی رئولوژیکی نمونه‌های ماست توسط رئومتر برشی دینامیکی (Anton paar، مدل MC RS1، اتریش) با ژئومتری مخروط-صفحه، به قطر ۵۰ سانتی‌متر فاصله گام/گپ ۰/۰۱ میلی‌متر و زاویه مخروط ۱ درجه برای ارزیابی رئولوژیکی استفاده شد. هر نمونه جهت استراحت و بازیابی ساختار به مدت ۵ دقیقه در فضای بین مخروط و صفحه قرار گرفت. آزمون‌ها در دمای ۲۵ درجه سلسیوس و با سه تکرار انجام شد. جهت تعیین ویژگی‌های ویسکوالاستیک، در ابتدا یک آزمون نوسانی روبش-کرنش برای تعیین ناحیه ویسکوالاستیک خطی<sup>۲۵</sup> انجام شد و سپس کرنش مناسب در محدوده ویسکوالاستیک خطی (یک درصد) جهت انجام آزمون روبش-فرکانس<sup>۲۶</sup> انتخاب شد. آزمون روبش-فرکانس در محدوده فرکانس ۰/۰۱ تا ۱۰۰ هرتز با اعمال کرنش ثابت یک درصد انجام شد که در نهایت مدول‌های افت و ذخیره توسط دستگاه ثبت گردید. برای توصیف رفتار جریان از

27. Power Law

28. Bingham

29. Herschel-Bulckly

30.. Casson

31. Vocabadlo

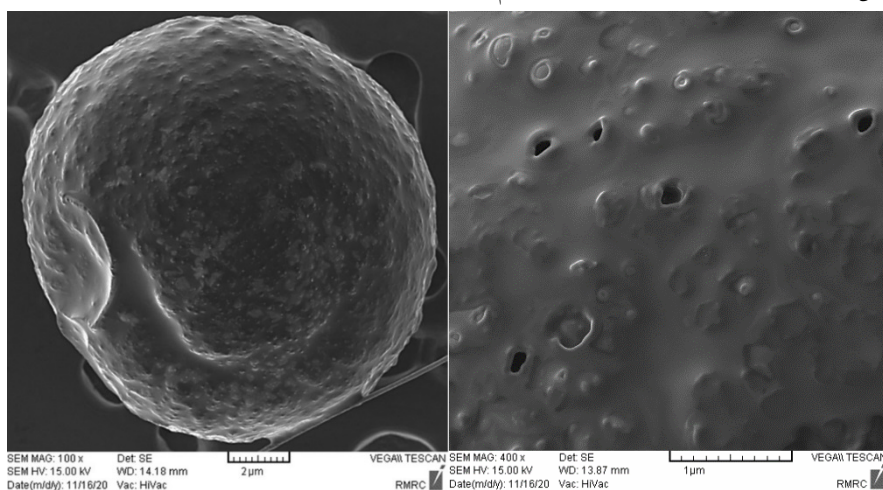
32. Response surface methodology (RSM)

33. Central composite design( CCD)

25. Linear viscoelastic region

26. Frequency sweep

به عنوان یک هیدروکلورید آب‌دوست، از یک طرف سبب افزایش ویسکوزیته فاز پیوسته اطراف قطرات روغن می‌گردد و حرکت آن‌ها را محدود می‌کند و از طرف دیگر به دلیل جذب شدن بین فاز روغن و آب باعث کاهش کشش سطحی و پایداری امولسیون می‌گردد [۲۷]. نتایج تحقیق حاضر نشان داد که میزان کارایی روش امولسیون‌سازی به منظور ریزپوشانی روغن دانه چیا برابر  $\pm ۰/۲۴$   $۸۹/۸$  درصد است. چنان و همکاران نیز راندمان ریزپوشانی بین  $۸۵$  تا  $۹۰$  درصد را برای پوشش دهی لاکتو-پولیوس با پوشش‌های آژینات سدیم به دست آورده‌اند. آن‌ها دریافتند که راندمان ریزپوشانی علاوه بر غلاظت آژینات و نوع آن به سرعت تشکیل دیواره پوشش در اثر اتصالات عرضی وابسته است. بخشی از روغن آزاد ممکن است مرتبط با نشت روغن از سطح ریزپوشش قبل از تشکیل دیواره پیوسته توسط فاز آژینات باشد [۲۷]. نتایج مشابه توسط سایر پژوهشگران برای پوشش‌های بر پایه آژینات گزارش شده است [۱۱، ۱۳، ۱۵، ۱۷]. نتایج تصاویر میکروسکوپ الکترونی رویشی نشان‌دهنده تشکیل موافقیت آمیز ریزپوشش آژینات-موسیلاژ دانه چیا کاملاً گرد و با اندازه‌ای در حدود  $۱۰$  میکرومتر با ساختار پوسته یکنواخت می‌باشد (شکل ۱). همچنین سطح دیواره ریزپوشش دارای منافذی است که باعث رهایش آرام مواد درون هسته می‌گردد. نتایج مشابهی توسط سایر پژوهشگران برای پوشش‌های آژینات گزارش شده است [۱۱-۱۳، ۱۵، ۱۷، ۲۷].



**Fig 1** Scanning electron microscopy images from sodium alginate-chia seed mucilage containing chia seed oil

میانگین مربعات خطأ (RMSE) انجام شد.

$$R^2 = 1 - \left( \frac{\sum_{i=1}^n (O-P)^2}{\sum_{i=1}^n (O-P)^2} \right) \quad (12)$$

$$RMSE = \sqrt{\frac{(O-P)^2}{n-p}} \quad (13)$$

که  $O$ ،  $P$  و  $n$  به ترتیب داده تجربی، داده پیش‌بینی شده، تعداد مشاهده و تعداد متغیرهای مدل است. تجزیه و تحلیل داده‌های بهینه‌سازی با نرم‌افزار دیزاين اکسپرت (نسخه ۱۲، ایالات متحده آمریکا) انجام شد و داده‌های مقایسه با استفاده از تجزیه و تحلیل واریانس یک طرفه (one-way ANOVA) با کمک نرم‌افزار SPSS (نسخه ۲۶، ایالات متحده آمریکا) انجام گردید. برای مقایسه میانگین‌ها از آزمون تعقیبی دانکن استفاده شد.

### ۳-نتایج و بحث

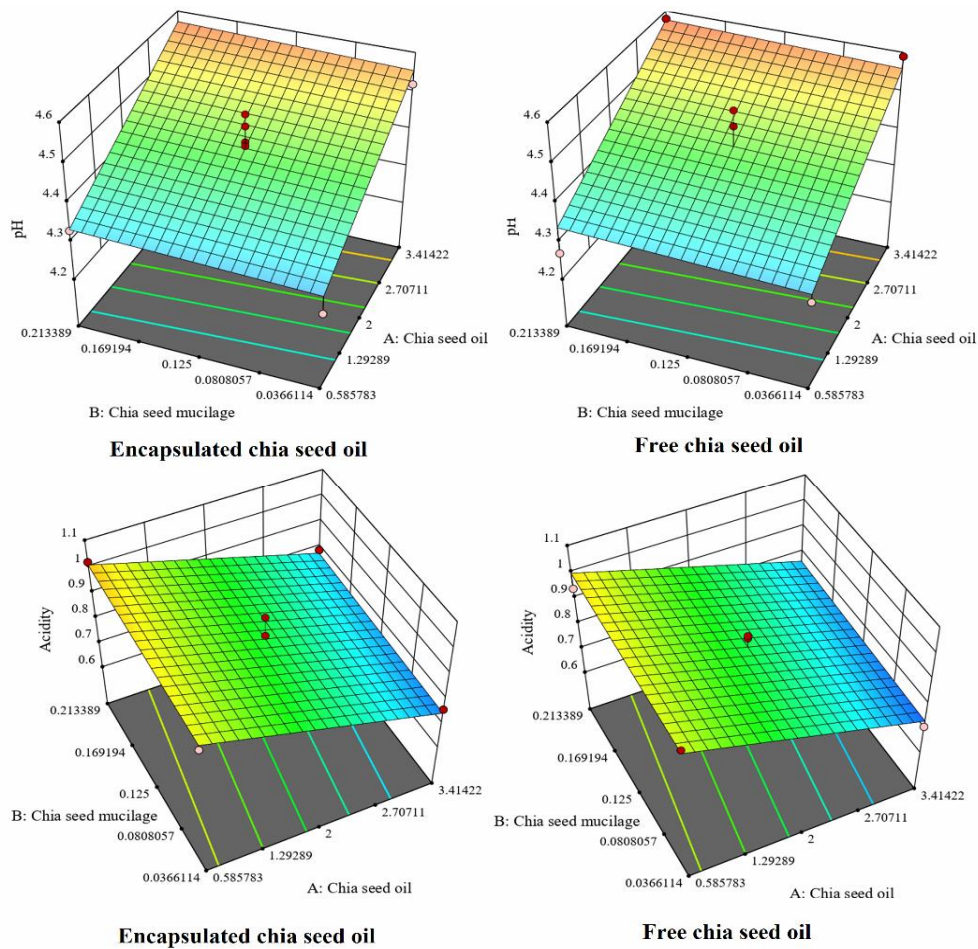
#### ۳-۱-ارزیابی ریزپوشش آژینات سدیم-موسیلاژ دانه چیا

شکل‌گیری و پایداری امولسیون یکی از مهم‌ترین مراحل در فرایند ریزپوشانی به روشن امولسیون‌سازی است که تأثیر قابل توجهی در کارایی ریزپوشانی و همچنین کیفیت ریزپوشش نهایی دارد [۱۳، ۱۵]. نتایج بررسی پایداری امولسیون نشان داد که شاخص پایداری امولسیون  $۹۸/۶ \pm ۰/۱$  درصد بود که این مقدار نشان از پایداری کامل امولسیون دارد. افزودن آژینات‌سدیم

گزارش شده است [۲۹]. بررسی نتایج تجزیه واریانس نشان داد که متغیر عددی مستقل روغن دانه چیا تاثیر معنی‌داری بر تغییرات pH و اسیدیته دارد ( $p < 0.05$ ) به طوری که مطابق شکل ۲، با افزایش مقدار روغن، اسیدیته نمونه‌ها کاهش و pH آنها افزایش یافت. این در حالی است که افزودن موسیلاز دانه چیا و روغن ریزپوشانی‌شده و فرایند ریزپوشانی، تاثیر معنی‌داری بر تغییرات آنها ندارد ( $p > 0.05$ ).

### pH-۲-۳ و اسیدیته

pH و اسیدیته بر ویژگی‌های بافتی ژل ماست و مدت زمان نگهداری آن تاثیر می‌گذارد و تحت تاثیر عواملی از قبیل ترکیب شیمیایی شیر، شرایط فرآیند، افزودنی‌ها و فعالیت باکتری‌های آغازگر در حین تخمیر قرار دارد [۲۸]. با توجه به نتایج، pH نمونه‌های ماست غنی‌شده بین ۴/۳۱-۴/۶۶ متفاوت بود. pH بهینه برای دستیابی به ویژگی‌های مطلوب بافت ماست ۴/۱-۴/۶ بود.



**Fig 2** The change in pH and acidity of yogurt vs. independent variables.

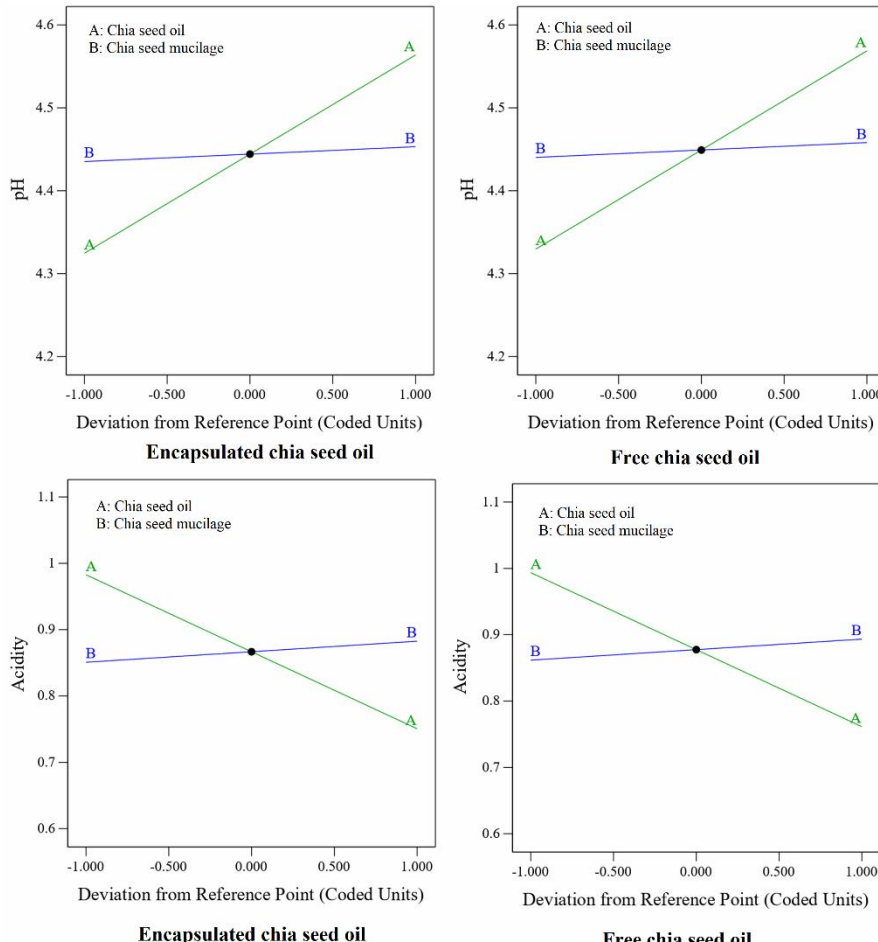
می‌دهد که پاسخ، به این متغیر حساس است و خط نسبتاً صاف، غیر حساس بودن پاسخ را به تغییر در آن عامل خاص نشان می‌دهد [۳۲، ۳۳]. در بین متغیرهای عددی مورد مطالعه از آنجایی که شبیب نمودار روغن دانه چیا بیشتر از شبیب نمودار موسیلاز دانه چیا است، پس می‌توان نتیجه گرفت که تغییرات pH و

به منظور اثبات تأثیر متغیرهای مستقل فرآیند بر تغییرات pH و اسیدیته، از نمودار اغشاشی یا پرشیدگی<sup>۴</sup> استفاده شد (شکل ۳). در نمودار اغشاشی، تغییرات جزئی هر متغیر در اطراف نقطه مرکزی نشان داده شده است. شبیب یا انحنای تند یک متغیر نشان

34. Perturbation

تأثیر معنی‌دار ( $p < 0.05$ ) افزودن نسبت‌های مختلف صمغ کنچاک و مرو بر تغییرات pH و اسیدیته ماست [۲۹] نشان داده‌اند.

اسیدیته نسبت به روغن دانه چیا حساس‌تر از موسیلاژ است. نتایج مطالعات انجام شده در گذشته نیز تأثیر معنی‌داری ( $p < 0.05$ ) افزودن روغن خرفه [۳۰]، عصاره دانه چیا [۳۱]، دانه چیا و توت‌فرنگی [۸] بر تغییرات pH و اسیدیته ماست و عدم



**Fig 3** The perturbation plot of the changes in pH and acidity of yogurt.

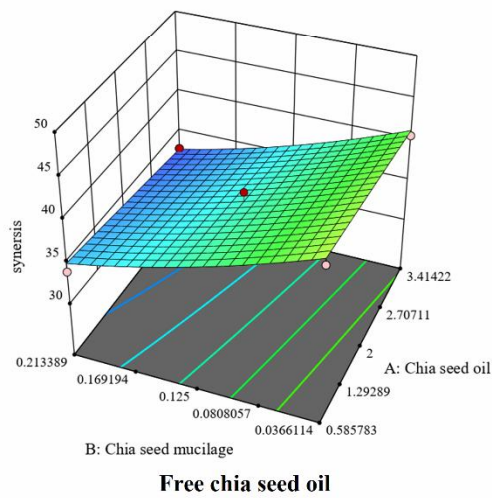
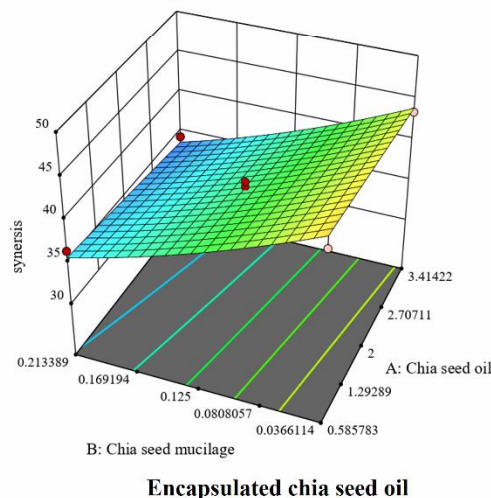
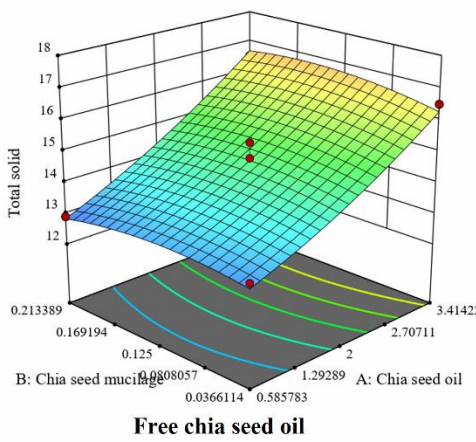
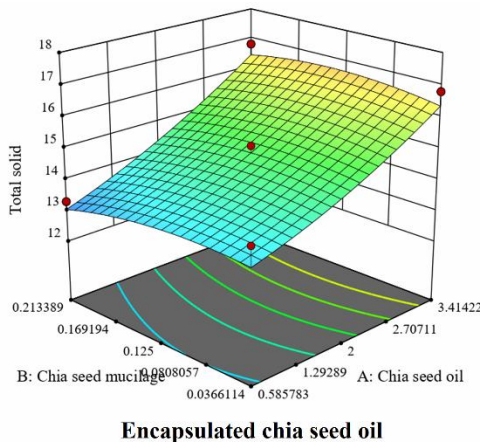
نظیر فیرها و فرآورده‌های آن، دمای تخمیر و pH از مهم‌ترین عوامل کنترل آب‌اندازی ماست هستند [۲۶، ۲۷، ۳۰]. ماده خشک ماست نیز در قوام و میزان آب‌اندازی محصول نهایی موثر است. نتایج تجزیه و تحلیل واریانس نشان داد که افزودن روغن دانه چیا تأثیر معنی‌داری بر افزایش ماده خشک نمونه‌های ماست دارد ( $p < 0.05$ ). این افزایش قابل انتظار مطابق شکل ۴، به سبب افزودن روغن به فرمولاسیون ماست است که باعث تغییر ماده خشک کل در محدوده بین ۱۲/۵ تا ۱۷/۶ درصد شده است. با این حال ریزپوشانی روغن و افزودن موسیلاژ تأثیر معنی‌داری بر میزان ماده خشک ندارد ( $p > 0.05$ ). اگرچه انتظار می‌رفت که با

### ۳-۳-ماده خشک و آب‌اندازی

یکی از مهم‌ترین اهداف صنعت لبنیات، تولید ماستی مطلوب با حداقل آب‌اندازی طی حمل و نقل و نگهداری است. ساختار ماست را می‌توان به صورت شبکه سه‌بعدی از زنجیره‌ها و خوش‌های میسل‌های کازئین که شکل کروی خود را حفظ کرده‌اند، تعریف کرد. آب‌اندازی عموماً به دلیل تغییر و شکست در شبکه پروتئینی ماست، چروکیدگی ساختار آن و کاهش قدرت اتصال پروتئین‌های سرمی به شبکه کازئینی طی نگهداری و اعمال تنش رخ می‌دهد. درصد چربی، ویژگی‌های باکتری‌های آغازگر، میزان ماده خشک بدون چربی، افزودن مواد جاذب آب

نشان می‌دهند که افزودن روغن دانه چیا و موسیلاز آن و فرآیند ریزپوشانی، تاثیر معنی‌دار کاهشی بر آب‌اندازی نمونه‌های ماست غنی‌شده دارند ( $p < 0.05$ )؛ به طوری‌که مقدار آب‌اندازی نمونه می‌بینیم نسبت به نمونه شاهد  $48/79$  درصد کاهش یافت. اما، اثر متقابل عوامل بر میزان ماده خشک و آب‌اندازی معنی‌دار نشد ( $p > 0.05$ )؛ در حالی‌که اثر درجه دوم روغن و موسیلاز دانه چیا بر ماده خشک و اثر درجه دوم موسیلاز دانه چیا بر میزان آب‌اندازی معنی‌داری بود ( $p < 0.05$ ).

افزایش موسیلاز، ماده خشک کل افزایش یابد؛ ولی این امر را می‌توان به مقدار نسبتاً کم پودر موسیلاز اضافه‌شده (بین  $0\text{--}0.25$  درصد) در مقایسه با روغن دانه چیا و تغییرات زیاد ماده خشک ( $12/5$  تا  $17/6$  درصد) تحت تاثیر افزودن روغن دانه چیا نسبت داد که سبب می‌گردد تا تغییرات ناشی از افزودن پودر موسیلاز معنی‌دار نگردد ( $p > 0.05$ ). با این حال همان‌طور که از شکل ۴ مشخص است، اثر درجه‌ی دوم این عامل بر ماده خشک کل ماست معنی‌دار شده است ( $p < 0.05$ ). همچنین نتایج شکل ۴



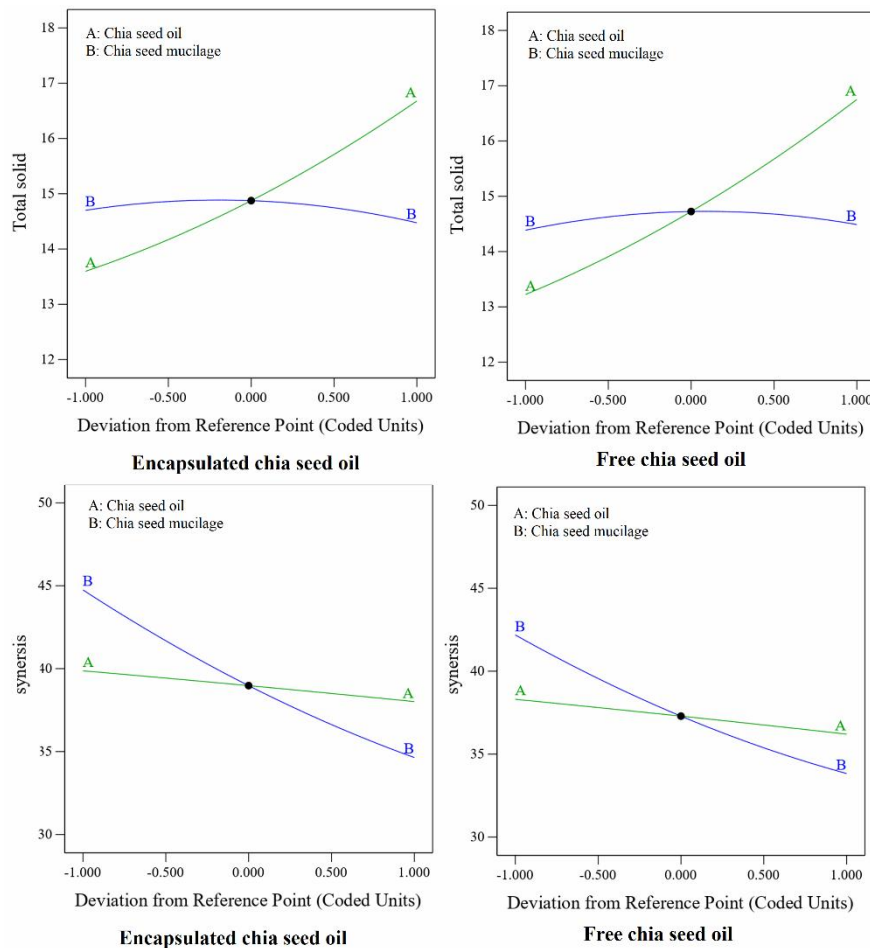
**Fig 4** The change in dry matter and syneresis of yogurt vs. independent variables.

غنی‌شده دارند [۳۴]. به علاوه ن موسیلاز به علت داشتن ساختار هیدروکلولئیدی آب‌دوست، می‌تواند سبب کاهش شدید در آب‌اندازی ماست گردد. آتیک و همکاران (۲۰۲۰)، نیز گزارش کردند که افزودن هر نسبتی از موسیلاز چیا سبب کاهش آب‌اندازی و افزایش استحکام نمونه‌های ماست نسبت به نمونه شاهد می‌شود؛ که دلیل آن را ساختار هیدروکلولئیدی موسیلاز چیا

مطابق شکل ۴، در میان نمونه‌های حاوی روغن، نمونه‌های ریزپوشانی شده توانستند مقدار آب بیشتری را در ماست حفظ کنند و در نتیجه مقدار آب‌اندازی نمونه را کاهش دهند. در ماست غنی‌شده، روغن موجب افزایش ماده خشک می‌شود که احتمالاً به علت پایدار کردن شبکه ژل و افزایش ظرفیت اتصال آب، اثر مطلوبی بر استحکام ژل ماست و کاهش آب‌اندازی در نمونه‌های

است. در این شکل، تغییرات متغیر موسیلاز بر میزان ماده خشک، در اطراف نقطه مرکزی با کمی انحنا، که نشان از اثر مرتبه درجه دوم متغیر موسیلاز بر ماده خشک است. اما به علت انحنای کم، تأثیر متغیر بر پاسخ شدید نیست. تغییرات متغیر روغن در اطراف نقطه مرکزی با شبیه تقریباً تندا، نشان دهنده اثر زیاد این عامل بر تغییرات ماده خشک است. شبیه بیشتر نمودار موسیلاز دانه چیا بر میزان آب‌اندازی نسبت به ماده خشک، نشان دهنده تأثیر بیشتر موسیلاز دانه چیا بر میزان آب‌اندازی است.

و جذب آب توسط آن و افزایش استحکام شیکه پروتئینی ژل ماست دانستند [۳۵]. با توجه به تجزیه و تحلیل داده‌ها، مدل چند جمله‌ای درجه دوم به دست آمده به خوبی با داده‌های تجربی تغییرات ماده خشک و آب‌اندازی ماست با ضریب تبیین بالا متناسب است. این نتیجه نشان می‌دهد که مدل تعیین شده تناسب خوبی با داده‌های تجربی دارد و می‌توان از آن برای پیش‌بینی عملکرد کمی متغیرهای مستقل در آب‌اندازی ماست استفاده نمود. تأثیر متغیرهای مستقل فرآیند بر تغییرات ماده خشک و آب‌اندازی ماست در نمودار اغتشاشی در شکل ۵ نشان داده شده



**Fig 5** The perturbation plot for the change dry matter and syneresis of yogurt.

ندارد ( $p > 0.05$ ). این امر می‌تواند به سبب پایین بودن عدد پراکسید نمونه‌ها در هنگام تولید و عدم تأثیر فرایند ریزپوشانی در اکسیداسیون روغن دانه چیا باشد. مقدار پراکسید تمامی نمونه‌ها در روز اول تولید در محدوده  $0.3 - 1.0$  میلی اکی و لان اکسیژن فعال بر کیلوگرم روغن بود. به نظر می‌رسد تأثیر فرآیند

### ۳-۴-شاخص پراکسید

نتایج تجزیه و تحلیل واریانس نشان داد که میزان روغن دانه چیا و میزان موسیلاز آن به عنوان متغیرهای عددی مستقل و دو حالت روغن آزاد و ریزپوشانی تأثیر معنی‌داری بر تغییر مقدار پراکسید

با اسپرولینا به صورت آزاد و ریزپوشانی با پودر آب پنیر (۰/۵ درصد) که نشان دادند نمونه‌های پوشش داده شده رنگ سفیدتری داشتند با نتایج تحقیق حاضر در اثر مثبت ریزپوشانی بر افزایش میزان سفیدی همخوانی داشت [۳۸]. اما نتایج تحقیق نجفی و همکاران در سال ۱۴۰۰، در بررسی غنی‌سازی ماست با نسبت‌های مختلف صمغ کنجاک و مرو نشان دهنده کاهش شاخص<sup>\*</sup>  $L^*$  نمونه‌ها با افزایش میزان صمغ کنجاک و کاهش صمغ دانه مرو بود که با تحقیق حاضر همخوانی ندارد [۲۹]. مطابق نتایج شکل ۶، مشخص شد که افزودن روغن دانه چیا و موسیلاژ آن و تاثیر متقابل فرآیند ریزپوشانی و موسیلاژ دانه چیا بر تغییر شاخص<sup>a</sup> ( $a^*$ ) (قرمزی–سبزی) نمونه‌های ماست غنی‌شده تاثیر معنی دار دارد ( $p < 0.05$ )؛ اما فرآیند ریزپوشانی به تنهایی تاثیری بر تغییر این شاخص ندارد ( $p > 0.05$ ). مطابق نتایج، افزایش روغن دانه چیا سبب کاهش شاخص<sup>a</sup>  $a^*$  شد.

ریزپوشانی در طی دوره نگهداری و زمانی که شرایط برای اکسیداسیون روغن دانه چیا فراهم هست، مشخص می‌گردد. قربانزاده و همکاران (۲۰۱۷) نیز دریافتند که فرآیند ریزپوشانی سبب کاهش سرعت افزایش پراکسید طی دوره نگهداری می‌گردد و تاثیر آن طی فرآیند تولید چندان زیاد نمی‌باشد [۳۶].

### ۵-۳-تغییرات رنگ

رنگ سفید شیر به دلیل حضور ذرات کلوئیدی مثل گلبول‌های چربی و میسل‌های کازین می‌باشد [۳۷]. شاخص<sup>\*</sup>  $L^*$  یا میزان روشنی ماست تاثیر زیادی بر ظاهر و پذیرش محصول دارد. مطابق نتایج شکل ۶، افزودن روغن دانه چیا و فرآیند ریزپوشانی تاثیر معنی دار افزایشی بر تغییر شاخص<sup>\*</sup>  $L^*$  نمونه‌های ماست غنی‌شده داشت ( $p < 0.05$ ) و در مقابل افزودن موسیلاژ دانه چیا به ماست تاثیر معنی داری بر تغییر شاخص<sup>\*</sup>  $L^*$  نمونه ریزپوشانی شده نداشت ( $p > 0.05$ ). نتایج بیان شده توسطنور محمدی و همکاران در سال ۲۰۲۰، در غنی‌سازی ماست

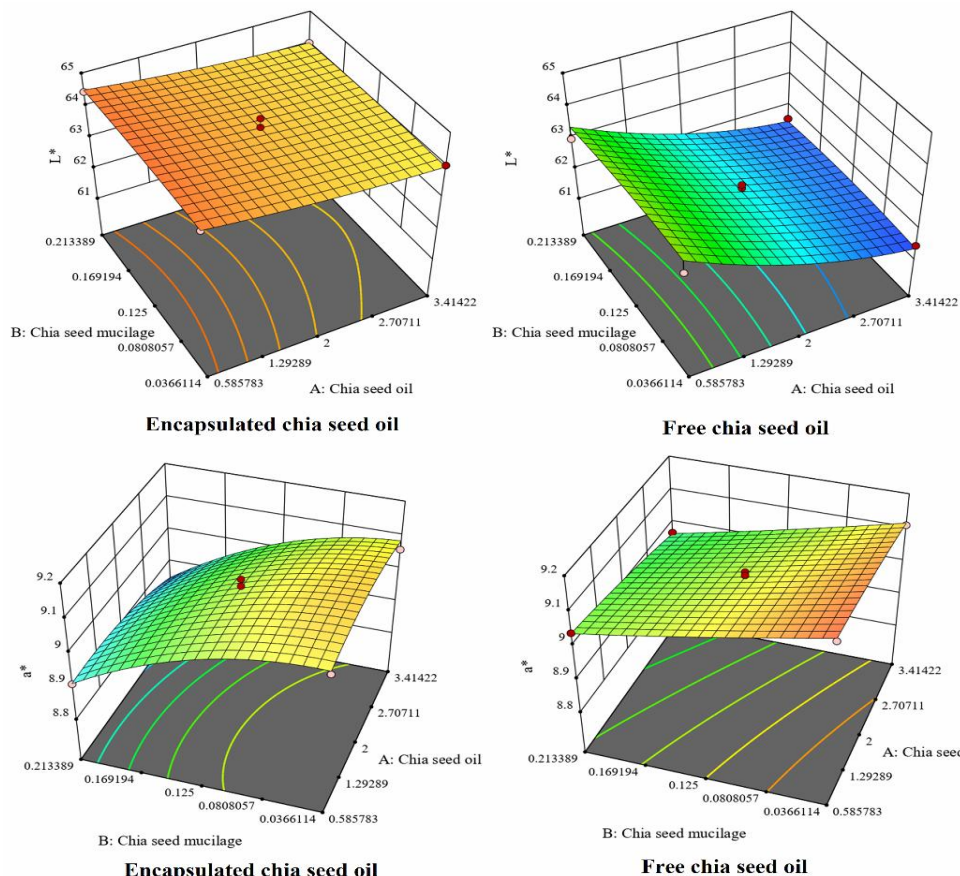


Fig 6 Chang in the  $L^*$  and  $a^*$  index of yogurt vs. independent variables.

بهتر می‌باشد. نتایج نشان داد که متغیرهای مستقل روغن و فرآیند درون پوشانی و رابطه متقابل بین این دو متغیر تاثیر معنی‌داری بر میزان تغییرات رنگ ماست غنی‌شده داشت ( $p < 0.05$ ) و این در حالی است که متغیر مستقل موسيلاز و رابطه متقابل آن با دو عامل دیگر و اثرات درجه دوم آن تأثیر معناداری بر میزان تغییرات رنگ نداشت ( $p > 0.05$ ). با توجه به شکل ۷ تغییرات رنگ در نمونه‌های ریزپوشانی شده در مقایسه با نمونه شاهد تفاوت کمتری در مقایسه با نمونه‌های غنی‌شده با روغن بهصورت آزاد داشت. غنی‌سازی و همکاران (۱۳۹۸) دریافتند که افزودن صمغ بهدانه باعث افزایش میزان زردی ماست می‌شود که دلیل آن احتمالاً برهم‌کنش بین ذرات پروتئین و پلی‌ساقارید صمغ بهدانه و در نتیجه ناپایدار شدن میسل کازئین می‌باشد [۳۹]. پیشتر افزایش معنی‌دار ( $p < 0.05$ ) تغییرات رنگ ماست با افزودن اینولین و صمغ دانه [۴۰]، صمغ دانه ریحان [۴۱] و صمغ بذر کتان [۴۰] توسط سایر پژوهشگران گزارش شده بود

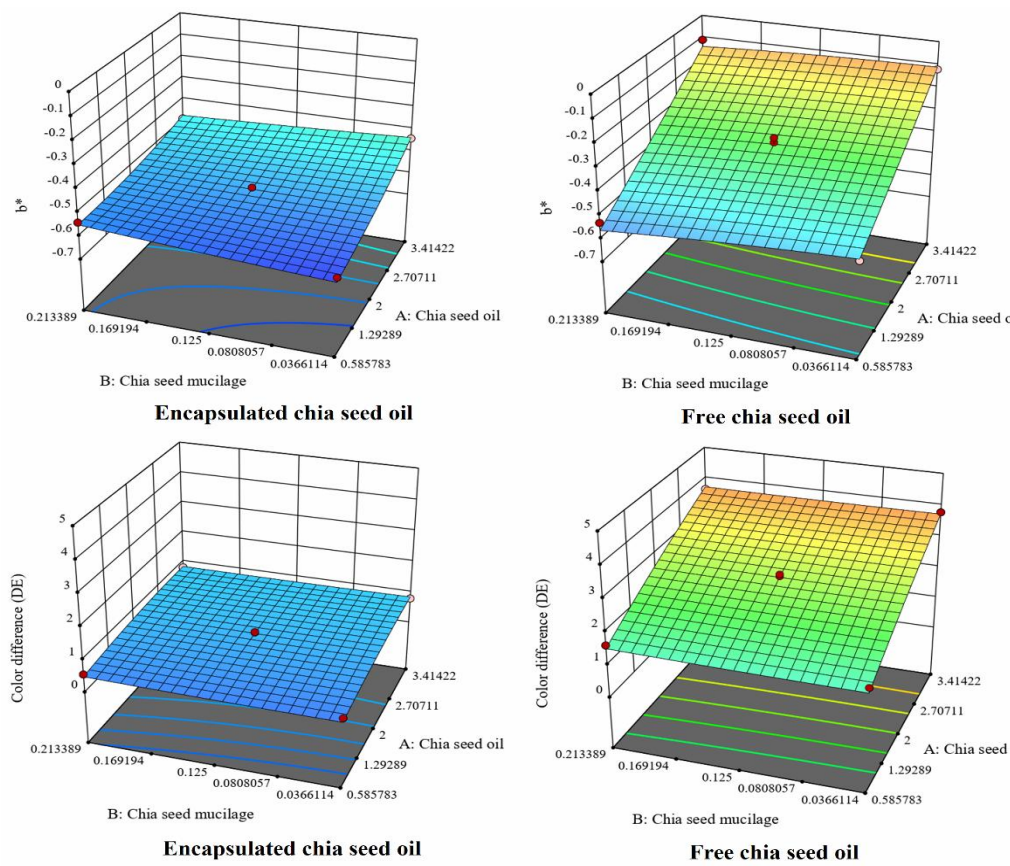
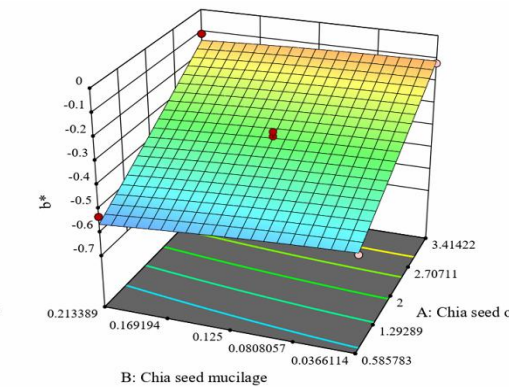


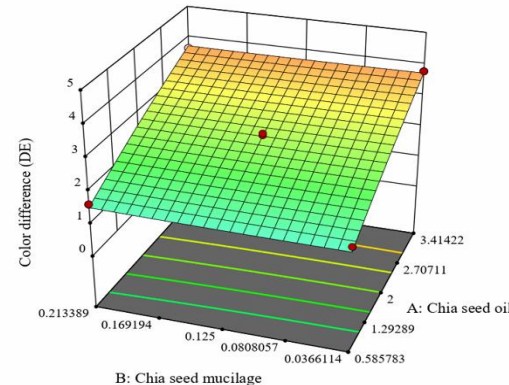
Fig 6 Chang in the  $b^*$  and  $\Delta E$  index of yogurt vs. independent variables.

غنی‌سازی و همکاران (۱۳۹۸)، طی پژوهشی که بر اثر افزودن اینولین و صمغ بهدانه به ماست پرداختند و به این نتیجه رسیدند که افزایش مقدار اینولین و صمغ در ماست سبب کاهش شاخص  $a^*$  است، در این پژوهش شاخص  $a^*$  در محدوده رنگ سبز بود که یکی از دلایل کاهش این شاخص، کاهش میزان آب‌اندازی بهدلیل افزودن اینولین و صمغ بهدانه بود [۳۹].

مطابق شکل ۷، افزودن روغن دانه چیا و فرآیند درون‌پوشانی تاثیر معنی‌داری بر تغییر شاخص  $b^*$  نمونه‌های ماست غنی‌شده داشت ( $p < 0.05$ )؛ با این حال افزودن موسيلاز دانه چیا تاثیر معنی‌داری بر تغییر این شاخص نداشت ( $p > 0.05$ ). مقدار شاخص  $b^*$  نمونه‌های ریزپوشانی شده در محدوده ۰/۶۲ - ۰/۱۱ بود که مقدادر منفی نشان‌دهنده رنگ آبی نمونه‌ها می‌باشد و با افزایش مقدار روغن در نمونه‌های بدون ریزپوشش میزان شاخص  $b^*$  به بالاتر از صفر تغییر نمود که نشان‌دهنده ایجاد رنگ زرد در نمونه‌ها می‌باشد. هرچقدر تغییرات رنگ ( $\Delta E$ ) نمونه‌های غنی‌شده نسبت به نمونه شاهد کمتر باشد از نظر مصرف‌کننده



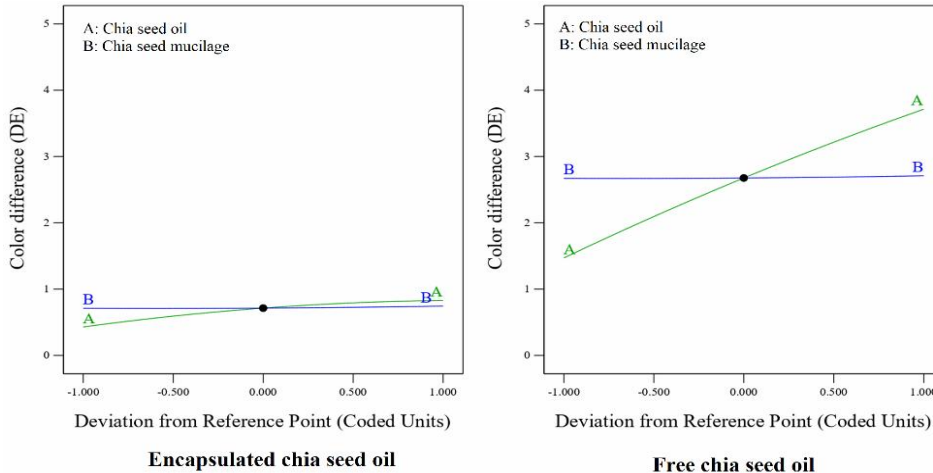
**Free chia seed oil**



**Free chia seed oil**

اغتشاشی یا پرشیدگی نشان دهنده این است که علاوه بر تاثیر موثر شیب تند عوامل روغن و موسیلائز دانه چیا بر پاسخ، تفاوت دو تصویر نشان دهنده تاثیر بسیار زیاد فرآیند ریزپوشانی بر تغییرات رنگ است، بهطوری که پاسخ بهشدت به وجود یا عدم وجود آن حساسیت نشان می دهد.

با توجه به تجزیه و تحلیل داده ها مدل چند جمله ای درجه دوم به دست آمده به خوبی با داده های تجربی تغییرات رنگ منطبق بود و توانست داده ها را با ضریب تبیین بالا ( $R^2 = 0.9937$ ) پیش بینی نماید. نزدیکی داده های تجربی و پیش بینی شده تغییرات رنگ نیز نشان از موفقیت مدل پیشنهادی در پیش بینی تغییرات رنگ است. تأثیر متغیرهای مستقل فرآیند بر تغییرات رنگ توسط نمودار



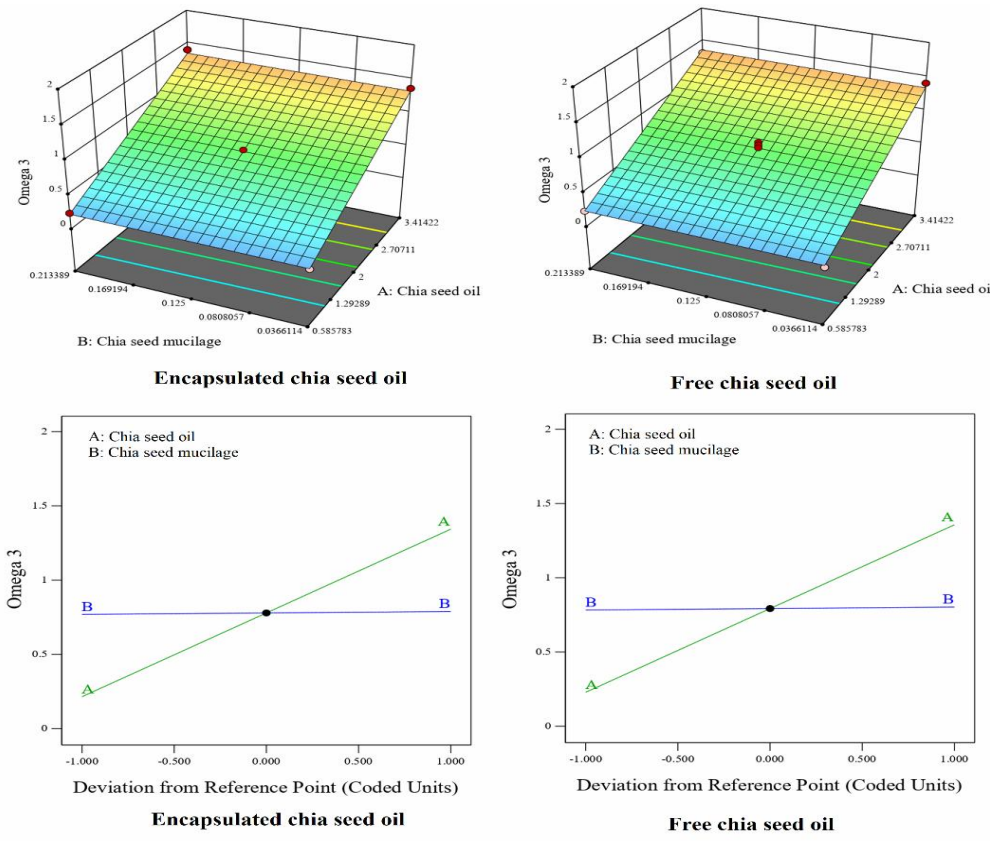
**Fig 8** The perturbation plot for the color differences change of yogurt

چندانی نکرده است پس احتمالاً میزان این اسیدهای چرب در نمونه های غنی شده در مقایسه با نمونه شاهد افزایش پیدا کرده است. مواد غذایی به عنوان منبع امگا ۳ در نظر گرفته می شوند که حداقل حاوی ۰/۳ گرم امگا ۳ در ۱۰۰ گرم باشند و مواد غذایی با حداقل ۰/۶ گرم امگا ۳ در ۱۰۰ گرم به عنوان منابعی با محتویات بالای امگا ۳ محسوب می شوند (Kowaleski et al., 2020). تأثیر متغیرهای مستقل فرآیند بر تغییرات امگا ۳ در نمودار اشتاشاشی نشان داد که با توجه به شیب تند نمودار عامل افزودن روغن دانه چیا، بین متغیرهای عددی مطالعه میزان روغن دانه چیا بیشترین تاثیر را بر امگا ۳ به عنوان پاسخ مورد مطالعه داشت و میزان حساسیت پاسخ به سایر عوامل ناچیز بود (شکل ۹).

### ۳-۶-۳-امگاء

با توجه به اینکه محصولات لبنی از نظر اسیدهای چرب ضروری غنی نمی باشند، می توان با افزودن ترکیبات غنی از اسیدهای چرب ضروری میزان این ترکیبات را در محصولات لبنی افزایش داد (نصرآبادی و همکاران، ۱۳۹۸). با توجه به نتایج تجزیه و تحلیل واریانس (شکل ۹)، افزودن روغن دانه چیا به طور معنی داری باعث افزایش میزان امگا ۳ نمونه های ماست غنی شده گردید (p<0.05).

این در حالی است که افزودن موسیلائز دانه چیا و فرآیند ریزپوشانی تاثیر معنی داری در تغییر میزان امگا ۳ نمونه های ماست نداشت (p>0.05). افزودن روغن دانه چیا به ماست می تواند سبب افزایش مقادیر اسید اولئیک، اسید لینولئیک و اسید آلفا-لینولینیک باشد و از آنجایی که مقادیر عدد پراکسید تغییر

**Fig 9** Change in the Omega 3 of yogurt vs. independent variables and their perturbation plot.

### ۷-۳-بهينه‌سازی

بهينه‌سازی عددی چند پاسخه با روش سطح پاسخ و با طرح مرکب مرکزی (CCD) با هدف به حداقل رساندن ارزش غذایی و حداقل سازی هم‌زمان تغییرات حسی، شیمیایی و رنگی نسبت به نمونه شاهد و کمترین میزان آب‌اندازی به منظور تعیین سطوح مطلوب متغیرهای کمی و کیفی مستقل مورد استفاده قرار گرفت. نتایج بهینه‌سازی عددی مقادیر متغیرهای مستقل را برای عامل روغن دانه چیا برابر  $3/41$  درصد به صورت ریزپوشانی و برای مقدار موسيلاز دانه چیا برابر  $0/213$  درصد تعیین نمود. مطلوبیت این شرایط بهینه برابر  $0/896$  می‌باشد. مقدار مطلوبیت بین  $0$  تا  $1$  است و هرچه مقدار آن بیشتر باشد، یعنی شرایط بهینه انتخاب شده به اهداف تعیین شده برای بهینه‌سازی نزدیک‌تر است. تحت این شرایط بهینه، مقدار پاسخهای پیش‌بینی شده و تجربی در جدول ۲ نشان داده شده است. همان‌طور که در این جدول مشاهده می‌شود، تفاوت چندانی بین مقادیر تجربی و پیش‌بینی شده وجود ندارد.

نتایج مشابهی توسط کوالشکی و همکاران طی غنى‌سازی ماست با نسبت‌های مختلف دانه چیا و توت فرنگی به دست آمد. آنها با بررسی نمایه اسیدهای چرب نمونه‌های ماست دریافتند که افزودن دانه چیا به ماست سبب کاهش میزان اسیدهای چرب اشباع در ماست در مقایسه با نمونه شاهد می‌گردد ( $p < 0.05$ ). همچنین نمونه‌های غنى‌شده از نظر اسیدهای چرب غیر اشباع و اسیدهای چند غیر اشباع تفاوت معنی داری ( $p < 0.05$ ) با نمونه شاهد داشتند [۸]. سایر پژوهش‌ها در ارتباط با غنى‌سازی ماست با ترکیبات غنى از اسیدهای چرب ضروری نیز به نتایج مشابهی دست یافته‌اند. به عنوان مثال نصرآبادی و همکاران که غنى‌سازی ماست با روغن خرفه<sup>۳۰</sup> را انجام دادند، شاهد افزایش میزان اسید لینولنیک، اسیداولئنیک و اسید لینولنیک در نمونه‌های ماست در مقایسه با نمونه شاهد بودند؛ زیرا روغن خرفه همانند روغن دانه چیا غنى از اسیدهای چرب ضروری است [۳۰].

به دلیل اینکه شب نمودار تنشی-برشی با افزایش سرعت برشی کاهش می‌یابد، می‌توان دریافت که رفتار نمونه‌ها از نوع غیرنیوتونی رقیق‌شونده<sup>۳۷</sup> با تنش تسیلم (هرشل بالکلی) می‌باشد. رفتار رقیق‌شونده با برش برای نمونه‌های ماست حاوی موسیلاژ دانه چیا و ریزپوشش‌ها را می‌توان با ساختار ساختمان فضایی زنجیرهای نیمه‌سخت ساختار هیدروکلورئیدی موسیلاژ و همچنین به وجود ساختار ژل مانند ضعیف آن توضیح داد که باعث افزایش درگیری ماکرومولکولی نمونه بهینه می‌گردد. این رفتار برای بیشتر نمونه‌های پیچیده غذایی قابل مشاهده است، که ناشی از ساختار پلیمری و وزن مولکولی بالای آن‌ها است. قبل از رفتار رقیق‌شونده با برش برای ماست غنی‌شده با صمغ گوار و موسیلاژ چیا گزارش شده است [۳۵]. در سیالات غیرنیوتونی از گرانزوی ظاهری استفاده می‌شود. گرانزوی ماست تحت تاثیر روش‌های فرآوری، نوع آغازگر، نوع عملیات حرارتی و ترکیب فرمولاسیون که به آن افزوده می‌شود قرار دارد [۴۲]. همان‌طور که در شکل ۱۰ مشاهده می‌شود، کاهش گرانزوی در درجه برش کاهش برش‌های پایین شدیدتر است و با افزایش درجه برش کاهش گرانزوی کاهش یافت، به‌طوری که در درجه برش‌های بالا مقدار گرانزوی به مقدار ثابتی نزدیک می‌شود. نتایج پژوهش نورمحمدی و همکاران نشان داد که افزودن ریزپوشش سبب افزایش گرانزوی در مقایسه با نمونه شاهد به دلیل جذب آب توسط ریز جلکها می‌گردد. به علاوه، جذب آب کربوهیدرات‌های خارج سلولی تولیدشده توسط اسپیروولینا باعث افزایش گرانزوی ماست می‌شود. وجود آژینات و پروتئین آب پنیر با خاصیت جذب آب زیاد باعث گرانزوی بیشتر در نمونه‌های حاوی میکروپسول می‌گردد [۳۸]. در این پژوهش برای بررسی رفتار رئولوژیکی مستقل از زمان نمونه‌های ماست از پنج مدل توان، بینگهام، هرشل-بالکلی، کاسون و ووکادلو استفاده شد. بر اساس جدول ۳، نتایج نشان داد که مدل هرشل-بالکلی در نمونه شاهد و بهینه کارایی بالای  $R^2=0.999$  در توصیف رفتار رئولوژیکی نمونه‌ها ماست دارد. تنش تسیلم نقش بسیار مهمی در سیستم‌های دارای شبکه سه‌بعدی ایفا می‌کند.

**Table 2** Multi-response numerical prediction results.

	Predicted values	Experimental values
pH	4.57	04.52±0.11
Acidity	0.77	0.74±0.13
Dry matter	16.43	16.51±0.25
Syneresis	33.56	34.02±0.79
Peroxide value	0.2	0.1±0.1
Color differences	0.84	0.80±0.09
Omega 3	1.33	1.39±0.12

### ۳-۱-۷-۳- شمارش باکتری‌های آغازگر (اسید لاكتیک)

ماست حاوی باکتری‌های اسید لاكتیک زنده و فعال مفید برای سلامتی انسان است و طبق مقررات انجمان ملی ماست برای انواع ماست، باکتری‌ها باید در پایان زمان ماندگاری اعلام شده فعال باشند. بنابراین زنده‌مانی باکتری‌ها در ماست‌های غنی‌شده باید بررسی شود. رشد و زنده‌مانی باکتری‌های اسیدلاكتیک متاثر از عوامل بسیاری از جمله نوع و گونه آن، میزان تلقیح، دمای گرمخانه‌گذاری، pH، عوامل تحریک‌کننده و بازدارنده از رشد، زمان نگهداری، غلظت متابولیت‌ها و در دسترس بودن مواد غذی می‌باشد [۲۶]. نتایج شمارش باکتری‌ها نشان داد که غلظت باکتری‌های آغازگر در هر دو نمونه شاهد و بهینه بالاتر از غلظت ذکر شده در استاندارد کدکس<sup>۳۹</sup>  $CFU/g (10^7)$  است و تاثیر ریزپوشش‌ها بر تعداد باکتری‌های آغازگر در مقایسه با نمونه شاهد معنی‌دار نیست ( $p>0.05$ ). میانگین تعداد باکتری‌های استرپتوبکترس ترموفیلوس در نمونه شاهد و غنی‌شده به ترتیب برابر  $8/45$  و  $8/50$  واحد تشکیل کلنتی در میلی لیتر بود. میانگین تعداد باکتری‌های لاکتوباسیللوس بولگاریکوس نیز در نمونه شاهد و غنی‌شده به ترتیب برابر  $7/06$  و  $7/65$  واحد تشکیل کلنتی در میلی لیتر بود که اختلاف معنی‌دار با یکدیگر نداشت ( $p>0.05$ ). بکری و همکاران (۲۰۱۹)، نیز طی پژوهشی به بررسی اثر غنی‌سازی ماست با روغن نعنا و روغن ماهی تن غنی از امگا ۳ پرداختند، بیان کردند که افزودن روغن‌ها تاثیر معنی‌داری بر تعداد باکتری‌های اسیدلاكتیک نداشته است [۲۶].

### ۳-۲-۷-۳- خصوصیات رئولوژیکی

مطابق شکل ۱۰، از آنجایی که رابطه تنش برشی بر حسب سرعت برشی در تمامی نمونه‌ها، یک رابطه غیرخطی است و از طرفی

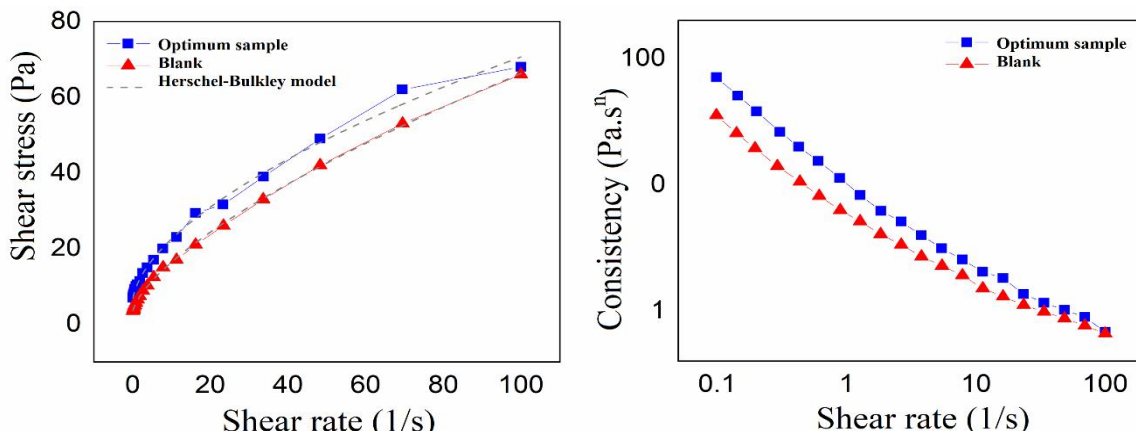


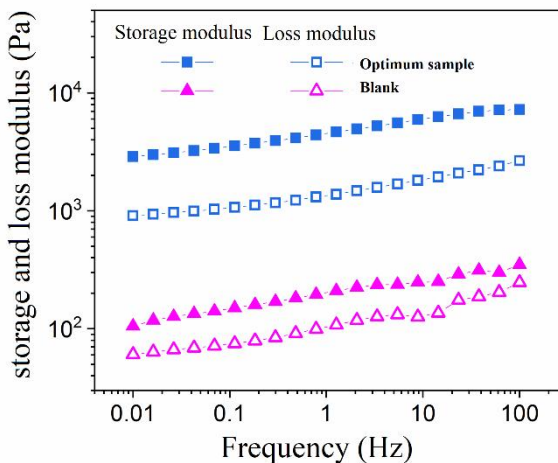
Fig 10 Shear stress-shear rate and consistency-shear plots for optimum and blank samples.

رفتار جریانی سیال نشده است. همان‌طور که در جدول ۳ نشان داده شده است، نمونه‌های حاوی ریزپوشش و موسیلاژ تنفس تسلیم بالاتری را نشان دادند، که به ساختار ژل قوی‌تر ارتباط دارد. بنابراین وجود نمونه‌های ماست حاوی موسیلاژ و ریزپوشش روغن دانه چیا سبب افزایش ضریب قوام و تنفس تسلیم و همین‌طور کاهش شاخص جریان شده است. مدل ذخیره ( $G'$ )؛ میزان رفتار الاستیک و مقدار انرژی ( $G''$ ) بازیابی شده در واحد حجم و مدل افت یا مدل ویسکوز ( $G'''$ ) بیانگر میزان رفتار جریانی و مقدار انرژی به هدر رفته در واحد حجم می‌باشد. مطابق شکل ۱۱، غالب بودن خاصیت کشسانی (الاستیک) به وجود ساختار شبکه‌ای و رفتار ژلی دلالت دارد. هر دو مدل الاستیک و ویسکوز به فرکانس وابسته هستند و با افزایش فرکانس مقادیر آنها افزایش یافته است. افزودن ریزپوشش روغن دانه چیا و موسیلاژ دانه چیا به ماست سبب افزایش مدل ذخیره و افت نسبت به نمونه شاهد گردید و بالاتر بودن مدل ذخیره به افت نشان دهنده رفتار ژل‌گونه در این سیستم است. عدم تلاقی نمودارهای الاستیک و ویسکوز نشان می‌دهد که در محدوده زمانی مورد آزمایش هیچ تغییر فازی در نمونه‌ها رخ نداده است و همواره  $G'$  از  $G''$  بزرگتر می‌باشد؛ بنابراین پایداری کلیه نمونه‌ها از طریق این آزمون مورد تایید است [۴۳].

در تنفس‌های برشی اعمال شده کم‌تر از تنفس تسلیم، ماده مورد نظر مانند یک جامد الاستیک و برای مقادیر بالاتر از آن مانند یک مایع ویسکوز عمل می‌کند. بنابراین با وجود تنفس تسلیم در نمونه‌های مورد نظر، مدل توان برای برازش داده‌ها مناسب به نظر نمی‌رسد. در مدل بینگه‌هام نیز با عبور از تنفس تسلیم، رفتار نیوتونی می‌گردد و به همین دلیل این مدل نیز نمی‌تواند در تعیین رفتار نمونه‌های مورد نظر مورد استفاده قرار گیرد. باید توجه داشت که نزدیکی شاخص ارزیابی در مدل ووکادلو و هرشل بالکلی از ماهیت یکسان این دو مدل نشات می‌گیرد. وجود تنفس تسلیم برای نمونه‌های ماست ممکن است به دلیل تعداد زیاد باندهای هیدروژنی در ساختار مارپیچ آنها باشد که منجر به ایجاد ساختار فضایی پایداری می‌گردد که در برابر جریان مقاومت می‌کند. تنفس تسلیم همچنین نشان‌دهنده وجود پیوندهای جانبی و یا ساختارهای تعاملی در ماده است. بررسی داده‌های حاصل از آزمایش نمونه‌های ماست بهینه و شاهد نشان داد که مقادیر ضریب قوام و شاخص رفتار جریان به غلظت محلول بستگی دارد و با افزایش آن مقدار شاخص رفتار جریان کاهش و ضریب قوام افزایش می‌یابد. کاهش شاخص رفتار جریان با افزایش غلظت را می‌توان به افزایش درگیری بین مولکولی که سبب رفتار رقیق شوندگی با برش می‌گردد، نسبت داد. چون شاخص رفتار جریان در تمامی نمونه‌ها کم‌تر از یک بود، به عبارتی می‌توان نتیجه گرفت که، حضور موسیلاژ و روغن دانه چیا سبب تغییر در

**Table 4** Shear stress-shear rate parameters and consistency- shear plots for optimum and blank samples.

	Blank sample	Optimum sample
	Power-law model	
K (Pa.s <sup>n</sup> )	4.58±0.29	8.72±0.61
n	0.57±0.016	0.44±0.018
R <sup>2</sup>	0.993	0.982
RMSE	1.51	2.56
	Herschel-Bulkley model	
τ <sub>0</sub> (Pa)	3.04±0.17	5.75±0.69
K (Pa.s <sup>n</sup> )	2.79±0.10	4.31±0.49
n	0.67±0.008	0.58±0.02
R <sup>2</sup>	0.999	0.995
RMSE	0.38	1.1
	Bingham model	
τ <sub>0</sub> (Pa)	6.71±0.82	11.41±1.19
μ <sup>p</sup> (Pa.s <sup>n</sup> )	0.65±0.02	0.66±0.03
R <sup>2</sup>	0.971	0.943
RMSE	3.13	4.54
	Vocadlo model	
τ <sub>0</sub> (Pa)	3.74±0.21	7.22±0.55
K (Pa.s <sup>n</sup> )	7.37±0.64	35.16±9.20
n	0.63±0.008	0.51±0.01
R <sup>2</sup>	0.999	0.995
RMSE	0.51	1.19
	Casson model	
τ <sub>0</sub> (Pa)	3.79±2.55	5.39±1.00
K (Pa.s <sup>n</sup> )	109.12±36.9	205.19±39.85
R <sup>2</sup>	0.660	0.805
RMSE	10.76	8.45

**Fig 11** Storage and loss modulus-frequency plot in optimum and blank samples.

شکل ۱۱ نشان می‌دهد مقادیر مدول الاستیک نمونه‌ها در محدوده فرکانس اعمال شده بالاتر از مدول ویسکوز می‌باشد در نتیجه می‌توان گفت همه نمونه‌ها دارای قابلیت تشکیل ژل ضعیف هستند که این قابلیت با افزودن ریزپوشش و موسیلاژ افزایش می‌یابد. با افزودن موسیلاژ، که به عنوان هیدرولوکلوریدی خنثی طبقه‌بندی می‌شود، برهم‌کنش‌های غیرالکترواستاتیک بین موسیلاژ دانه چیا و توده‌های کازئینی اتفاق می‌افتد و این امر باعث افزایش خصوصیات الاستیکی ماست می‌شود؛ احتمالاً این هیدرولوکلورید با برقراری اتصال با بارهای مثبت سطح میسل‌های کازئین، به تقویت شبکه کازئینی می‌پردازد و باعث افزایش مدول الاستیک می‌شود.

#### ۴-نتیجه‌گیری کلی

- hispanica L.) as a source of proteins and bioactive peptides with health benefits: A review. *Comprehensive Reviews in Food Science and Food Safety*, 2019. 18(2): p. 480-499.
- [5] Knez Hrnčič, M., et al., Chia Seeds (*Salvia hispanica* L.): an overview—phytochemical profile, isolation methods, and application. *Molecules*, 2020. 25(1): p. 11.
- [6] Ishak, I., et al., Optimization and characterization of chia seed (*Salvia hispanica* L.) oil extraction using supercritical carbon dioxide. *Journal of CO<sub>2</sub> Utilization*, 2021. 45: p. 101430.
- [7] Özcan, M.M., et al., Effect of different microwave power setting on quality of chia seed oil obtained in a cold press. *Food Chemistry*, 2019. 278: p. 190-196.
- [8] Kowaleksi, J., et al., Functional yogurt with strawberries and chia seeds. *Food Bioscience*, 2020. 37: p. 100726.
- [9] Sargi, S.C., et al., Antioxidant capacity and chemical composition in seeds rich in omega-3: chia, flax, and perilla. *Food Science and Technology*, 2013. 33: p. 541-548.
- [10] Ullah, R., et al., Nutritional and therapeutic perspectives of Chia (*Salvia hispanica* L.): a review. *Journal of food science and technology*, 2016. 53(4): p. 1750-1758.
- [11] Zandi, M., A. Ganjloo, and M. Bimakr, Encapsulation of musk willow (*Salix aegyptiaca* L.) essential oil with sodium alginate and whey protein: Characterization, controlled release and mathematical modeling. *Journal of food science and technology (Iran)*, 2022. 19(125): p. 121-133.
- [12] Zandi, M. and M. Mohebbi, Investigation of encapsulated diacetyl colloidosome release profile as a function of sintering process and release media properties. *Flavour and fragrance journal*, 2014. 29(6): p. 364-370.
- [13] Zandi, M., et al., Evaluation of diacetyl encapsulated alginate–whey protein microspheres release kinetics and mechanism at simulated mouth conditions. *Food Research International*, 2014. 56: p. 211-217.
- [14] Maes, C., S. Bouquillon, and M.-L. Fauconnier, Encapsulation of essential oils for the development of biosourced pesticides with controlled release: A review. *Molecules*, 2019. 24(14): p. 2539.

مطالعه حاضر به منظور بررسی امکان غنى‌سازی ماست با روغن و موسیلاز دانه چیا انجام شد. ابتدا به منظور افزایش پایداری اکسایشی روغن دانه چیا ریزپوشانی روغن آن به روش امولسیون‌سازی-ژلاسیون در پوشش آژینات و موسیلاز دانه چیا انجام شد. نتایج حاصل از ارزیابی فرایند ریزپوشانی نشان داد که میزان کارایی روش امولسیون‌سازی به منظور ریزپوشانی روغن دانه چیا برابر  $89.8 \pm 0.24\%$  درصد است. عبارت دیگر نزدیک به ۹۰٪ درصد روغن دانه چیا اضافه شده، درون ریزپوشش‌ها محصور شد و تنها ۱۰٪ از آن، بدون پوشش باقی ماند. نتایج تصاویر میکروسکوپ الکترونی رویشی نشان‌دهنده تشکیل موفقیت‌آمیز ریزپوشش آژینات سدیم-موسیلاز دانه چیا با ساختار پوسته یکنواخت بود. نتایج بدست آمده برای عدد پراکسید و راندمان درون‌پوشانی نشان می‌دهد که ریزپوشانی روغن دانه چیا به روش امولسیون‌سازی در پوشش آژینات و موسیلاز دانه چیا یک استراتژی موثر برای جلوگیری از اکسیداسیون روغن دانه چیا در ماست غنی شده است. نتایج بدست آمده از ویژگی‌های فیزیکی نشان داد که غنى‌سازی سبب کاهش آب‌اندازی، افزایش ظرفیت نگهداری و افزایش ویسکوزیته ماست گردید. تولید ماست حاوی ریزپوشش روغن دانه چیا و موسیلاز آن که غنى از امگا ۳ است، می‌تواند به عنوان یک ماده غذایی مغذی تقویت‌کننده سلامتی در نظر گرفته شود.

## ۵- منابع

- [1] Campos, B.E., et al., Optimization of the mucilage extraction process from chia seeds and application in ice cream as a stabilizer and emulsifier. *LWT-Food Science and Technology*, 2016. 65: p. 874-883.
- [2] Marcinek, K. and Z. Krejpcio, Chia seeds (*Salvia hispanica*): health promoting properties and therapeutic applications-a review. *Roczniki Państwowego Zakładu Higieny*, 2017. 68(2).
- [3] Kulczyński, B., et al., The chemical composition and nutritional value of chia seeds—Current state of knowledge. *Nutrients*, 2019. 11(6): p. 1242.
- [4] Grancieri, M., H.S.D. Martino, and E. Gonzalez de Mejia, Chia seed (*Salvia*

- addition of microencapsulated chia seeds, pumpkin seeds and baru oils. *Food chemistry*, 2019. 274: p. 220-227.
- [26] Bakry, A.M., Y.Q. Chen, and L. Liang, Developing a mint yogurt enriched with omega-3 oil: Physicochemical, microbiological, rheological, and sensorial characteristics. *Journal of Food Processing and Preservation*, 2019. 43(12): p. e14287.
- [27] Chan, E.-S., et al., Effects of starch filler on the physical properties of lyophilized calcium-alginate beads and the viability of encapsulated cells. *Carbohydrate polymers*, 2011. 83(1): p. 225-232.
- [28] Najafabadi, T. and S. Hoseini Ghaboos, The effect of fat content changes on chemical and rheological properties of yogurt contains Jerusalem artichoke powder during storage. *Journal of Food Research*, 2020. 29(4): p. 153-169.
- [29] Najaf Najafi, M., H. Shateri, and M. Kashaninejad, The effect of konjac gum, sage seed gum, homogenization rate and fat content on pH, texture, and color of low fat stirred yogurt. 2021.
- [30] Ghorbani, M., Yogurt enrichment with Common purslane oil (*Portulacaoleracea*) and its physicochemical, antioxidant and sensory properties. *Journal of food science and technology (Iran)*, 2019. 16(92): p. 23-36.
- [31] Kwon, H., et al., Chia seed extract enhances physicochemical and antioxidant properties of yogurt. *Journal of dairy science*, 2019. 102(6): p. 4870-4876.
- [32] Karami, P., M. Zandi, and A. Ganjloo, Evaluation of key parameters during ohmic-assisted hydro-distillation of essential oil from aerial part of yarrow (*Achillea millefolium* L.). *Journal of Applied Research on Medicinal and Aromatic Plants*, 2022. 31: p. 100425.
- [33] Jafari, R., M. Zandi, and A. Ganjloo, Effect of ultrasound and microwave pretreatments on extraction of anise (*Pimpinella anisum* L.) seed essential oil by ohmic-assisted hydrodistillation. *Journal of Applied Research on Medicinal and Aromatic Plants*, 2022. 31: p. 100418.
- [34] Izadi, Z., et al., Optimization of producing enriched yogurt with phytosterols in order to reducing cholesterol content. *Iranian Food Science & Technology Research Journal*,
- [15] Zandi, M., et al., Identification of cardamom encapsulated alginate-whey protein concentrates microcapsule release kinetics and mechanism during storage, stew process and oral consumption. *Journal of Food Process Engineering*, 2017. 40(1): p. e12314.
- [16] Zandi, M., Evaluation of the Kinetics of Ascorbic Acid (AA) Release from Alginate-Whey Protein Concentrates (AL-WPC) Microspheres at the Simulated Gastro-Intestinal Condition. *Journal of Food Process Engineering*, 2017. 40(1): p. e12334.
- [17] Zandi, M., Vitamin protection by Alginate-Whey Protein Micro Gel (AL-WPC MG) as a novel microcapsule against gastrointestinal condition; case study: B-complex vitamins. *Iranian Food Science and Technology Research Journal*, 2020. 16(3): p. 14.
- [18] de Campo, C., et al., Nanoencapsulation of chia seed oil with chia mucilage (*Salvia hispanica* L.) as wall material: Characterization and stability evaluation. *Food chemistry*, 2017. 234: p. 1-9.
- [19] Naozuka, J., Elemental enrichment of foods: Essentiality and toxicity. *Nutrition & Food Science International Journal*, 2018. 4(3): p. 80-84.
- [20] Mannar, M.V. and N. Khan, *Food Fortification: Rationale and Methods*. 2016.
- [21] Ozturkoglu-Budak, S., C. Akal, and A. Yetisemiyen, Effect of dried nut fortification on functional, physicochemical, textural, and microbiological properties of yogurt. *Journal of Dairy Science*, 2016. 99(11): p. 8511-8523.
- [22] Us-Medina, U., et al., *Salvia hispanica* mucilage-alginate properties and performance as an encapsulation matrix for chia seed oil. *Journal of Food Processing and Preservation*, 2017. 41(6): p. e13270.
- [23] Muñoz-Tébar, N., et al., Enrichment of sheep cheese with chia (*Salvia hispanica* L.) oil as a source of omega-3. *LWT*, 2019. 108: p. 407-415.
- [24] Tamjidi, F., A. Nasirpour, and M. Shahedi, Physicochemical and sensory properties of yogurt enriched with microencapsulated fish oil. *Food science and technology international*, 2012. 18(4): p. 381-390.
- [25] Rojas, V.M., et al., Formulation of mayonnaises containing PUFAs by the

- [40] Marand, M.A., et al., Fortification of yogurt with flaxseed powder and evaluation of its fatty acid profile, physicochemical, antioxidant, and sensory properties. *Powder Technology*, 2020. 359: p. 76-84.
- [41] Kim, S.Y., et al., The quality characteristics, antioxidant activity, and sensory evaluation of reduced-fat yogurt and nonfat yogurt supplemented with basil seed gum as a fat substitute. *Journal of dairy science*, 2020. 103(2): p. 1324-1336.
- [42] Shahdadi, F., Study of various concentrations of resistant starch and chitosan on microstructure, rheological properties and viability of encapsulated probiotic bacteria in drinking yoghurt. *Journal of Food Processing and Preservation*, 2017. 9(2): p. 69-84.
- [43] Ein Ali Afjeh, M., et al., Effect of lactose, whey protein concentrat and skim milk powder on some rheological and sensory properties of set yoghurt with different somatic cell count. *Journal of food science and technology (Iran)*, 2015. 12(49): p. 209-218.
2011. 7(2): p. 156-164.
- [35] Atik, D.S., et al., Chia seed mucilage versus guar gum: Effects on microstructural, textural, and antioxidative properties of set-type yoghurts. *Brazilian Archives of Biology and Technology*, 2020. 63.
- [36] Ghorbanzade, T., et al., Nano-encapsulation of fish oil in nano-liposomes and its application in fortification of yogurt. *Food chemistry*, 2017. 216: p. 146-152.
- [37] Ashrafi, R. and N. Gheybi, Investigation the effect of Dill extract (*Anethume graveolens*) using on the antioxidant and physicochemical properties of set yogurt. *JFST*, 2019. 84(15): p. 203-215.
- [38] Nourmohammadi, N., S. Soleimanian-Zad, and H. Shekarchizadeh, Effect of *Spirulina (Arthrospira platensis)* microencapsulated in alginate and whey protein concentrate addition on physicochemical and organoleptic properties of functional stirred yogurt. *Journal of the Science of Food and Agriculture*, 2020. 100(14): p. 5260-5268.
- [39] Gheybi, N. and R. Ashrafi, The Effect of Inulin and Quince Seed Gum Powder on the Physicochemical and Qualitative Properties of Low Fat Yogurt. *Iranian Journal of Biosystems Engineering*, 2020. 50(4): p. 963-975.



## Fortification of yogurt with encapsulated chia seed oil and mucilage: optimization and evaluation of physicochemical and rheological properties

**Seid Mohammadifard, S. Z. <sup>1</sup>, Zarringhalami, S. <sup>2\*</sup>, Zandi, M. <sup>2</sup>, Pakpour, M. <sup>3</sup>**

1. Graduated M.s. student, Department of Food Science and Engineering, Faculty of Agriculture, University of Zanjan, Zanjan, Iran.
2. Associate Professor, Department of Food Science and Engineering, Faculty of Agriculture, University of Zanjan, Zanjan, Iran.
3. Assistant professor, Department of Materials, Energy and Quantum Technologies. Faculty of Convergent Technologies of Sience, Pasargad Institute for Advanced Innovative Solutions (PIAIS), Tehran, Iran.

### ARTICLE INFO

### ABSTRACT

#### Article History:

Received 2023/02/21  
Accepted 2023/04/10

#### Keywords:

Chia seed oil,  
Chia seed mucilage,  
Microencapsulation,  
Enrichment,  
Yogurt,  
Optimization.

**DOI:** 10.22034/FSCT.20.134.171  
**DOR:** 20.1001.1.20088787.1402.20.134.13.7

\*Corresponding Author E-Mail:  
zandi@znu.ac.ir

The aim of the present study was to optimization of enriched yogurt with chia seed oil and mucilage. This purpose was done with the aim of maximizing omega-3 level and minimizing changes in physical and chemical properties (pH, titrate acidity, syneresis, dry matter, peroxide values and color changes) compared to the control sample. First, in order to increase the oxidative stability, chia seed oil was encapsulated with sodium alginate and chia seed mucilage using emulsification/ internal gelation method. The physical characteristics results showed that the enrichment caused a decrease in the syneresis, an increase in the water holding capacity and viscosity. Then, yogurt was enriched and optimized with free and encapsulated chia seed oil (0 to 4%) and chia seed mucilage (0 to 0.25%). The sample without chia seed mucilage and oil used as a control sample. The results of scanning electron microscopy images showed that the successful alginato-sodium-mucilage microfiber coating of chia seeds has been made with a uniform structure. Yogurt contained 3.41% encapsulated chia seed oil and 0.213% chia seed mucilage was selected as an optimum treatment. The results showed that the number of starter bacteria of optimum sample were not significantly different from the control ( $p>0.05$ ). The texture of the yogurts was found to be viscoelastic. The flow behavior index in all samples was less than one, which indicates the non-Newtonian (pseudoplastic) behavior of the samples. Herschel Balky model had  $R^2$  and lowest RMSE in both samples, which indicates the suitability of this model to investigate the shear flow behavior in terms of shear velocity of samples.